



## รายงานการวิจัย

โครงการวิจัยเรื่อง การศึกษาเชิงทดลองการลดการสั่นสะเทือนโดยใช้  
ตัวดูดซับการสั่นสะเทือน

Experimental study of the vibration reduction  
using vibration absorber

คณะผู้วิจัย

RMUTK - CARIT



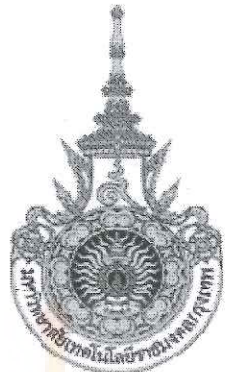
3 2000 00098164 9

นายสิริพงศ์ เอี่ยมชัยมงคล

โครงการวิจัยทุนสนับสนุนงานวิจัยของมหาวิทยาลัยเทคโนโลยีราชมงคลกรุงเทพ

งบประมาณแผ่นดิน ปี พ.ศ. ๒๕๕๓

มหาวิทยาลัยเทคโนโลยีราชมงคลกรุงเทพ



## รายงานการวิจัย

โครงการวิจัยเรื่อง การศึกษาเชิงทดลองการลดการสั่นสะเทือนโดยใช้

ตัวคูดซับการสั่นสะเทือน

Experimental study of the vibration reduction  
using vibration absorber

คณบดีวิจัย

RMUTK - CARIT



3 2000 00098164 9

นายสิริพงศ์ เอี่ยมชัยมงคล

โครงการวิจัยทุนสนับสนุนงานวิจัยของมหาวิทยาลัยเทคโนโลยีราชมงคลกรุงเทพ

งบประมาณแผ่นดิน ปี พ.ศ. ๒๕๕๓

มหาวิทยาลัยเทคโนโลยีราชมงคลกรุงเทพ

## กิตติกรรมประกาศ

โครงการวิจัยนี้สำเร็จได้ด้วยความอนุเคราะห์ของสำนักงานวิจัยแห่งชาติที่สนับสนุนในด้านงบประมาณ ผู้วิจัยขอขอบพระคุณสถาบันวิจัยและพัฒนา ตลอดจนคณะวิศวกรรมศาสตร์ มหาวิทยาลัยเทคโนโลยีราชมงคลรังสิตที่ให้ความอนุเคราะห์ในการประสานงานและอำนวยความสะดวกในการทำวิจัย



620.3  
ศ ๒๓๔๗ เทสต์  
บหคดยอ ๖.๑  
แบบที่ ๑๓๖๘ - ๑ ๘.๑  
วันที่ ๑๕๙๙ ปี - ๔ ก.ค. ๒๕๕๗

โครงการวิจัยนี้ศึกษาเกี่ยวกับการลดการสั่นสะเทือนโดยใช้ตัวดูดซับการสั่นสะเทือนแบบไม่มีความหน่วง ภายใต้แรงสั่นสะเทือนแบบชาร์มอนิก ตัวดูดซับการสั่นสะเทือนประกอบด้วยคานสปริงยึดติดกับชุดมวลหลักแบบคานที่เลื่อนร่องโดยมีมวลของตัวดูดซับติดอยู่ปลายคาน การทดลองลดการสั่นสะเทือนได้ทำการทดลองกับแรงชาร์มอนิกที่ความถี่ 6 Hz และ 11 Hz ผลการทดลองพบว่าการลดการสั่นสะเทือนด้วยวิธีดังกล่าวสามารถลดการสั่นสะเทือนได้เป็นอย่างมาก โดยสามารถลดจาก 6.4 mm (RMS) เหลือเพียง 0.05 mm (RMS) ที่ความถี่ 6 Hz และลดลงจาก 5.7 mm (RMS) เหลือเพียง 0.16 mm (RMS) ที่ความถี่ 11 Hz

คำสำคัญ : Vibration control, Vibration absorber, Dynamic absorber



## Abstract

This research studies on the reduction of vibration by using the undamped vibration absorber under the harmonic excitations. The vibration absorber consists of a leaf spring and a mass at the end. The absorber is attached at the main mass. Thus, this can be considered as a cantilevered beam with a mass at the end. The reduction of vibration by the harmonic excitation at the frequency of 6 Hz and 11 Hz are investigated. The results show that the vibration displacements are dramatically reduced from 6.4 mm (RMS) to 0.05 mm (RMS) at the frequency of 6 Hz and reduced from 5.7 mm (RMS) to 0.16 mm (RMS) at the frequency of 11 Hz.

**Keywords:** Vibration control, Vibration absorber, Dynamic absorber

# สารบัญ

	หน้า
กิตติกรรมประกาศ	ก
บทคัดย่อ (ภาษาไทย)	ข
บทคัดย่อ (ภาษาอังกฤษ)	ค
สารบัญเรื่อง	ง
สารบัญรูป	ฉ
สารบัญตาราง	ณ
<b>บทที่ 1</b>	
1.1 ความสำคัญและที่มาของปัญหาที่ทำการวิจัย	1
1.2 วัตถุประสงค์ของโครงการวิจัย	2
1.3 ขอบเขตของโครงการ	2
1.4 วิธีการดำเนินการวิจัย และสถานที่ทำการทดลอง	3
<b>บทที่ 2</b>	
2.1 งานวิจัยที่เกี่ยวข้อง	4
2.2 ทฤษฎี	5
<b>บทที่ 3</b>	
3.1 ส่วนประกอบของชุดทดลอง	9
3.2 รายละเอียดของอุปกรณ์ที่ใช้ในการทดลอง	10
3.3 การออกแบบชุดทดลอง	19
3.4 วิธีการทดลอง	24
<b>บทที่ 4</b>	
4.1 ผลการทดลองการลดการสั่นสะเทือนที่ความถี่ 6 Hz	26
4.2 ผลการทดลองการลดการสั่นสะเทือนที่ความถี่ 11 Hz	36
4.3 วิเคราะห์ผลการทดลอง	45
<b>บทที่ 5</b>	
5.1 สรุปผลการวิจัย	56
5.2 ข้อเสนอในการวิจัยต่อไป	57

## สารบัญ(ต่อ)

หน้า

เอกสารอ้างอิง	59
ประธานนุกรรมา	60



# สารบัญ

	หน้า
รูป 1.1 สะพาน Tacoma Narrows bridge ซึ่งพังทลายลงเนื่องจากการสั่นสะเทือนที่เกิดจาก การประทับของลม	1
รูป 2.1 แผนภาพแสดงหลักการลดการสั่นสะเทือนโดยใช้ตัวคูดซับการสั่นสะเทือน	5
รูป 2.2 กราฟแสดงความสัมพันธ์ระหว่างการตอบสนอง $\left( \frac{X_1}{\delta_{st}} \right)$ กับอัตราส่วนความถี่ $\left( \frac{\omega}{\omega_1} \right)$	7
รูป 2.3 กราฟแสดงความสัมพันธ์ระหว่างการตอบสนองของตัวคูดซับ $\left( \frac{X_2}{\delta_{st}} \right)$ กับอัตราส่วนความถี่ $\left( \frac{\omega}{\omega_1} \right)$	8
รูป 3.1 แผนภาพ (Schematic) อุปกรณ์ที่ใช้ในการทดลอง	9
รูป 3.2 ชุดดีซีมอเตอร์และแท่นสำหรับรองรับ	10
รูป 3.3 ชุดเฟืองไช่สำหรับขับเคลื่อนมวลไม่สมดุล	11
รูป 3.4 แผนภาพแสดงขนาดของมวลไม่สมดุล	12
รูป 3.5 มวลไม่สมดุล	12
รูป 3.6 ชุดยึดตัวคูดซับเข้ากับชุดมวลหลัก	13
รูป 3.7 วงจรขับดีซีมอเตอร์	13
รูป 3.8 คานสปริงสำหรับรองรับมวลหลัก	14
รูป 3.9 คานและมวลของตัวคูดซับการสั่นสะเทือน	14
รูป 3.10 สเตเรนเกจที่ใช้ในการทดลอง	15
รูป 3.11 แผนภาพวงจรประมวลผลสัญญาณ	16
รูป 3.12 ออสซิลโลสโคป Agilent DSO 1004	17
รูป 3.13 เครื่องวัดการสั่นสะเทือน Rion VM-82	17
รูป 3.14 แผนภาพชุดตรวจวัดความเร็วรอบ	18
รูป 3.15 ชุดตรวจวัดความเร็วรอบติดตั้งอยู่กับชุดขับมวลไม่สมดุล	18
รูป 3.16 ชุดขับมวลไม่สมดุลติดตั้งบนคานสปริงแบบปลายยึดแน่นทั้งสองด้าน	19
รูป 3.17 แผนภาพคานแบบปลายยึดแน่นทั้งสองด้าน	20
รูป 3.18 ตัวคูดซับการสั่นสะเทือนยึดติดกับคานและมวลหลัก	23
รูป 3.19 การจัดอุปกรณ์ที่ใช้ในการทดลอง	24

## สารบัญรูป(ต่อ)

	หน้า
รูป 4.1 สัญญาณความถี่ธรรมชาติที่ได้จากระบบมวลหลัก (ความถี่ที่ทดลองลดการสั่น 6 Hz)	26
รูป 4.2 สัญญาณที่ความถี่ 3.21 Hz (ความถี่ที่ทดลองลดการสั่น 6 Hz)	26
รูป 4.3 สัญญาณที่ความถี่ 5.81 Hz (ความถี่ที่ทดลองลดการสั่น 6 Hz)	27
รูป 4.4 สัญญาณที่ความถี่ 6.10 Hz (ความถี่ที่ทดลองลดการสั่น 6 Hz)	27
รูป 4.5 สเปกตรัมความถี่ของการสั่นสะเทือนที่ 6.1 Hz (ไม่ใช้ตัวคูดซับการสั่นสะเทือน)	28
รูป 4.6 สัญญาณที่ความถี่ของการสั่นสะเทือน 6.76 Hz (ความถี่ที่ทดลองลดการสั่น 6 Hz)	28
รูป 4.7 กราฟแสดงการกระจายจัดของการสั่นสะเทือนโดยไม่ใช้ตัวคูดซับการสั่นสะเทือน (ความถี่ที่ทดลองลดการสั่น 6 Hz)	29
รูป 4.8 สัญญาณที่ความถี่ 2.91 Hz (ความถี่ที่ทดลองลดการสั่น 6 Hz ใช้ตัวคูดซับการสั่นสะเทือน)	30
รูป 4.9 สัญญาณที่ความถี่ 5.56 Hz (ความถี่ที่ทดลองลดการสั่น 6 Hz ใช้ตัวคูดซับการสั่นสะเทือน)	30
รูป 4.10 สัญญาณที่ความถี่ 5.81 Hz (ความถี่ที่ทดลองลดการสั่น 6 Hz ใช้ตัวคูดซับการสั่นสะเทือน)	31
รูป 4.11 สัญญาณที่ความถี่ 6.10 Hz (ความถี่ที่ทดลองลดการสั่น 6 Hz ใช้ตัวคูดซับการสั่นสะเทือน)	31
รูป 4.12 สเปกตรัมความถี่ของการสั่นสะเทือนที่ 6.10 Hz (ใช้ตัวคูดซับการสั่นสะเทือน)	32
รูป 4.13 สัญญาณที่ความถี่ 6.41 Hz (ความถี่ที่ทดลองลดการสั่น 6 Hz ใช้ตัวคูดซับการสั่นสะเทือน)	32
รูป 4.14 สัญญาณที่ความถี่ 6.76 Hz (ความถี่ที่ทดลองลดการสั่น 6 Hz ใช้ตัวคูดซับการสั่นสะเทือน)	32
รูป 4.15 สัญญาณที่ความถี่ 7.14 Hz (ความถี่ที่ทดลองลดการสั่น 6 Hz ใช้ตัวคูดซับการสั่นสะเทือน)	33
รูป 4.16 กราฟแสดงการกระจายจัดของการสั่นสะเทือนโดยใช้ตัวคูดซับการสั่นสะเทือน (ความถี่ที่ทดลองลดการสั่น 6 Hz)	35
รูป 4.17 สัญญาณความถี่ธรรมชาติที่ได้จากระบบมวลหลัก (ความถี่ที่ทดลองลดการสั่น 11 Hz)	36
รูป 4.18 สัญญาณที่ความถี่ 3.60 Hz (ความถี่ที่ทดลองลดการสั่น 11 Hz)	36
รูป 4.19 สัญญาณที่ความถี่ 7.35 Hz (ความถี่ที่ทดลองลดการสั่น 11 Hz)	37
รูป 4.20 สัญญาณที่ความถี่ 10.6 Hz (ความถี่ที่ทดลองลดการสั่น 11 Hz)	37
รูป 4.21 สเปกตรัมความถี่ของการสั่นสะเทือนที่ 10.6 Hz (ไม่ใช้ตัวคูดซับการสั่นสะเทือน)	37

## สารบัญรูป(ต่อ)

	หน้า
รูป 4.22 สัญญาณที่ความถี่ 12.5 Hz (ความถี่ที่ทดลองลดการสั่น 11 Hz)	38
รูป 4.23 กราฟแสดงการกระจายจัดของการสั่นสะเทือนโดยไม่ใช้ตัวคูดซับการสั่นสะเทือน (ความถี่ที่ทดลองลดการสั่น 11 Hz)	39
รูป 4.24 สัญญาณที่ความถี่ 4.3 Hz (ความถี่ที่ทดลองลดการสั่น 11 Hz ใช้ตัวคูดซับการสั่นสะเทือน)	40
รูป 4.25 สัญญาณที่ความถี่ 9.80 Hz (ความถี่ที่ทดลองลดการสั่น 11 Hz ใช้ตัวคูดซับการสั่นสะเทือน)	40
รูป 4.26 สัญญาณที่ความถี่ 10.0 Hz (ความถี่ที่ทดลองลดการสั่น 11 Hz ใช้ตัวคูดซับการสั่นสะเทือน)	41
รูป 4.27 สัญญาณที่ความถี่ 10.6 Hz (ความถี่ที่ทดลองลดการสั่น 11 Hz ใช้ตัวคูดซับการสั่นสะเทือน)	41
รูป 4.28 สเปกตรัมความถี่ของการสั่นสะเทือนที่ 10.6 Hz (ใช้ตัวคูดซับการสั่นสะเทือน)	42
รูป 4.29 สัญญาณที่ความถี่ 11.6 Hz (ความถี่ที่ทดลองลดการสั่น 11 Hz ใช้ตัวคูดซับการสั่นสะเทือน)	42
รูป 4.30 สัญญาณที่ความถี่ 12.8 Hz (ความถี่ที่ทดลองลดการสั่น 11 Hz ใช้ตัวคูดซับการสั่นสะเทือน)	42
รูป 4.31 กราฟแสดงการกระจายจัดของการสั่นสะเทือนโดยใช้ตัวคูดซับการสั่นสะเทือน (ความถี่ที่ทดลองลดการสั่น 11 Hz)	44
รูป 4.32 กราฟแสดงการเปรียบเทียบการลดการสั่นสะเทือนที่ความถี่ 6 Hz	45
รูป 4.33 กราฟแสดงการเปรียบเทียบการลดการสั่นสะเทือนที่ความถี่ 11 Hz	46
รูป 4.34 สัญญาณเปรียบเทียบ (ก) เมื่อไม่ใช้ตัวคูดซับการสั่นสะเทือน และ (ข) ใช้ตัวคูดซับการสั่นสะเทือน (ความถี่ที่ทดลองลดการสั่น 6 Hz)	46
รูป 4.35 สเปกตรัมความถี่ (ก) ไม่ใช้ตัวคูดซับการสั่นสะเทือน และ (ข) ใช้ตัวคูดซับการสั่นสะเทือน (ความถี่ที่ทดลองลดการสั่น 6 Hz)	47
รูป 4.36 สัญญาณเปรียบเทียบ (ก) ไม่ใช้ตัวคูดซับการสั่นสะเทือน และ (ข) ใช้ตัวคูดซับการสั่นสะเทือน (ความถี่ที่ทดลองลดการสั่น 11 Hz)	47
รูป 4.37 สเปกตรัมความถี่ (ก) ไม่ใช้ตัวคูดซับการสั่นสะเทือน และ (ข) ใช้ตัวคูดซับการสั่นสะเทือน (ความถี่ที่ทดลองลดการสั่น 11 Hz)	48
รูป 4.38 การเคลื่อนที่ของมวลหลักและตัวคูดซับในทางทฤษฎี	53
รูป 5.1 แผนภาพการใช้ตัวคูดซับการสั่นสะเทือนแบบคานคู่	57
รูป 5.2 ชุดทดลองการใช้ตัวคูดซับการสั่นสะเทือนแบบคานคู่	58
รูป 5.3 แผนภาพการใช้ตัวคูดซับการสั่นสะเทือนแบบสปริงชด	58

## สารบัญตาราง

	หน้า
ตาราง 3.1 คุณสมบัติของแผ่นคานสปริงรองรับมวลหลัก	22
ตาราง 3.2 คุณสมบัติของแผ่นคานสปริงที่รองรับตัวคูดซับการสั่นสะเทือน	23
ตาราง 4.1 ผลการทดลองวัดการสั่นสะเทือนที่เกิดขึ้นที่ความถี่ต่าง ๆ โดยไม่ใช้ตัวคูดซับการสั่นสะเทือน (ความถี่ที่ทดลองลดการสั่น 6Hz)	29
ตาราง 4.2 ผลการทดลองวัดการสั่นสะเทือนที่เกิดขึ้นที่ความถี่ต่าง ๆ โดยใช้ตัวคูดซับการสั่นสะเทือน (ความถี่ที่ทดลองลดการสั่น 6 Hz)	34
ตาราง 4.3 ผลการทดลองวัดการสั่นสะเทือนที่เกิดขึ้นที่ความถี่ต่าง ๆ โดยไม่ใช้ตัวคูดซับการสั่นสะเทือน (ความถี่ที่ทดลองลดการสั่น 11Hz)	38
ตาราง 4.4 ผลการทดลองวัดการสั่นสะเทือนที่เกิดขึ้นที่ความถี่ต่าง ๆ โดยใช้ตัวคูดซับการสั่นสะเทือน (ความถี่ที่ทดลองลดการสั่น 11 Hz)	43
ตาราง 4.5 สัญญาณที่ความถี่น้อยกว่าและมากกว่าความถี่ธรรมชาติของการสั่น โดยไม่ใช้ตัวคูดซับการสั่นสะเทือน	49
ตาราง 4.6 สัญญาณที่ช่วงความถี่ต่าง ๆ เมื่อใช้ตัวคูดซับการสั่นสะเทือน	51
ตาราง 5.1 สรุปผลที่ได้จากการคำนวณกับผลทางทฤษฎี (ความถี่ที่ทดลองลดการสั่น 6 Hz)	56
ตาราง 5.2 สรุปผลที่ได้จากการคำนวณกับผลทางทฤษฎี (ความถี่ที่ทดลองลดการสั่น 11 Hz)	56



# บทที่ 1

การสั่นสะเทือนมักเกิดขึ้นเสมอๆ กับเครื่องจักรกล เช่น มอเตอร์ คอมเพลสเซอร์ หรือเครื่องยนต์ การสั่นสะเทือนเหล่านี้ล้วนส่งผลให้เกิดความเสียหายกับเครื่องจักรกลทั้งสิ้น ดังนั้นการลดการสั่นสะเทือนของเครื่องจักรกลจึงมีความจำเป็นอย่างยิ่งทั้งนี้เพื่อป้องกันความเสียหายที่อาจเกิดขึ้นกับเครื่องจักรกลหรือโครงสร้างที่รองรับ การลดการสั่นสะเทือนนั้นมีอยู่หลายวิธีด้วยกัน เช่นการออกแบบเครื่องจักรให้มีความสมดุล การแยกแรงสั่นสะเทือน (Isolation) การใช้ตัวดูดซับการสั่นสะเทือน (Vibration absorber) โดยในงานวิจัยนี้จะทำการศึกษาการลดการสั่นสะเทือนโดยใช้ตัวดูดซับการสั่นสะเทือนแบบไม่มีตัวหน่วง (Undamped vibration absorber)

## 1.1 ความสำคัญและที่มาของปัญหาที่ทำการวิจัย

การสั่นสะเทือนที่เกิดขึ้นในเครื่องจักรกลมาจากการหลา滞ด้วยกัน เช่น การไม่สมดุลของเครื่องจักรกล (Unbalance) การไม่อยู่ในแนวเดียวกัน (Misalignment) ของตัวต่อ (Coupling) เป็นต้น การสั่นสะเทือนเหล่านี้อาจมีผลต่อประสิทธิภาพในการใช้งานของเครื่องหรือโครงสร้างได้ และหากความถี่ของการสั่นสะเทือนนี้ตรงกับความถี่ธรรมชาติ (Natural frequency) ของระบบจะทำให้เกิดปรากฏการณ์สั่นพ้อง (Resonance) ขึ้นซึ่งทำให้เกิดการสั่นสะเทือนอย่างรุนแรงและก่อให้เกิดความเสียหายอย่างมากดังเช่นที่เกิดกับสะพาน Tacoma Narrow bridge ในประเทศสหรัฐอเมริกาในปี คศ. 1940 [1]. สะพานแห่งนี้ถูกพายุไต้ฝุ่นกระแทกจนสูญเสียรากฐานและล้มลงในวันที่ 7 ธันวาคม คศ. 1940 โดยสะพานแห่งนี้ได้เปิดใช้เมื่อวันที่ 1 กรกฎาคม คศ. 1940



รูป 1.1 สะพาน Tacoma Narrows bridge ซึ่งพังลายลงเนื่องจากการสั่นสะเทือนที่เกิดจาก การประทบของลม [1]

และได้พังทลายลงเมื่อวันที่ 7 พฤษภาคม คศ. 1940 หรืออีกเพียง 4 เดือนต่อมา

ดังที่ได้กล่าวมาแล้วข้างต้นถึงการลดการสั่นสะเทือนซึ่งมีอยู่หลายวิธีด้วยกัน เช่นการควบคุมความถี่ของการสั่นสะเทือนไม่ให้เข้าใกล้ความถี่ธรรมชาติของระบบ การลดการส่งผ่านแรงลงสู่ฐาน การใช้ตัวดูดซับการสั่นสะเทือนเป็นต้น ซึ่งแต่ละวิธีนั้นมีข้อดีและข้อเสียต่างกันไปขึ้นอยู่กับการประยุกต์ใช้งาน การใช้ตัวดูดซับการสั่นสะเทือนมีข้อดีคือสามารถออกแบบให้ใช้ลดการสั่นสะเทือนได้โดยไม่จำเป็นต้องเปลี่ยนแปลงระบบไปจากเดิมมากนัก หรือมีความยืดหยุ่นในการใช้งานได้มากกว่าวิธีอื่น นอกจากนี้การออกแบบและสร้างตัวดูดซับการสั่นสะเทือนยังสามารถทำได้ง่าย ดังนั้นในโครงการวิจัยนี้จึงมีความสนใจที่จะศึกษาการลดการสั่นสะเทือนโดยใช้ตัวดูดซับการสั่นสะเทือนแบบไม่มีตัวหน่วง (Undamped dynamic absorber) ซึ่งเป็นการประยุกต์หลักการสั่นสะเทือนขึ้นพื้นฐานของ การสั่นสะเทือนแบบสองระดับขั้นความเสรี (Two degree of freedom) โดยมุ่งเน้นศึกษาเชิงทดลองถึงความสามารถในการลดการสั่นสะเทือนตลอดจนศึกษารูปแบบการเคลื่อนที่ของมวลหลักและตัวดูดซับ การสั่นสะเทือนเปรียบเทียบกับรูปแบบการเคลื่อนที่ของมวลหลักและตัวดูดซับการสั่นสะเทือนในทางทฤษฎี และศึกษาถึงความเป็นไปได้ในการประยุกต์ใช้กับการลดการสั่นสะเทือนที่เกิดขึ้นจริง

## 1.2 วัตถุประสงค์ของโครงการวิจัย

- 1.2.1 เพื่อศึกษาถึงความสามารถในการลดการสั่นสะเทือนและศึกษาการเคลื่อนที่ของตัวดูดซับการสั่นสะเทือนแบบไม่มีตัวหน่วงภายใต้การสั่นสะเทือนแบบ harmonic อนิก
- 1.2.2 เพื่อเปรียบเทียบความสามารถในการลดการสั่นสะเทือนที่ได้จากการทดลองกับทฤษฎี
- 1.2.3 เพื่อศึกษาเปรียบเทียบสเปกตรัม (Spectrum) ความถี่ของการสั่นสะเทือนก่อนและหลัง การติดตัวดูดซับการสั่นสะเทือน
- 1.2.4 เพื่อศึกษาถึงความเป็นไปได้ในการประยุกต์ใช้ลดการสั่นสะเทือนในงานจริง

## 1.3 ขอบเขตของโครงการวิจัย

- 1.3.1 ออกแบบและสร้างตัวดูดทดลองการสั่นสะเทือนที่มีหนึ่งระดับขั้นความเสรี (Single degree of freedom) และมีการสั่นสะเทือนแบบ harmonic อนิก
- 1.3.2 ออกแบบและสร้างตัวดูดซับการสั่นสะเทือนที่ความถี่ต่าง ๆ
- 1.3.3 ศึกษาทดลองถึงความสามารถในการลดการสั่นสะเทือนของตัวดูดซับที่ความถี่ต่าง ๆ
- 1.3.4 สรุปผลการศึกษาที่ได้เพื่อหาแนวทางในการนำไปประยุกต์ใช้งานจริง

#### **1.4 วิธีการดำเนินการวิจัย และสถานที่ทำการทดลอง/เก็บข้อมูล**

โครงการวิจัยนี้จะเน้นการทดลองเป็นหลัก ดังนั้นวิธีการดำเนินงานจึงต้องสร้างชุดทดลองซึ่งสามารถสร้างและทดลองได้ ณ สาขาวิชาศึกษาครรภ์เครื่องกล คณะศึกษาศาสตร์ มหาวิทยาลัยเทคโนโลยีราชมงคลรุ่งเทพ

#### **1.5 ประโยชน์ที่คาดว่าจะได้รับ**

1.5.1 ได้รายงานการวิจัยขั้นพื้นฐานเพื่อเผยแพร่ในการประชุมวิชาการระดับชาติ หรือ นานาชาติ ซึ่งเป็นส่วนหนึ่งของด้านปัจจัยความสำเร็จขององค์กร

1.5.2 ทำให้เกิดองค์ความรู้ใหม่ ๆ ที่สามารถนำไปต่อยอดเพื่อใช้ในงานอุตสาหกรรมตลอดจนสามารถออกแบบตัวคูดซับการสั่นสะเทือนอย่างง่ายเพื่อทดลองใช้กับการลดสั่นสะเทือนของเครื่องจักรกล



## บทที่ 2

สำหรับงานวิจัยที่เกี่ยวข้องกับการลดการสั่นสะเทือนโดยใช้ตัวดูดซับการสั่นสะเทือนนั้นมีอยู่อย่างแพร่หลายในต่างประเทศ มีทั้งการใช้ตัวดูดซับการสั่นสะเทือนแบบมีตัวหน่วง (Damped vibration absorber) การลดการสั่นสะเทือนแบบไม่มีตัวหน่วง (Undamped vibration absorber) การลดการสั่นสะเทือนภายใต้แรงที่มีหลายความถี่ หรือการออกแบบตัวดูดซับให้มีช่วงการใช้งานกว้างโดยการปรับเปลี่ยนมวลของตัวดูดซับ (Tuned mass) เป็นต้น นอกจากนี้ยังมีการสร้างแบบจำลองทางคณิตศาสตร์โดยใช้โปรแกรมการคำนวณชั้นสูงเช่น ANSYS เพื่อเปรียบเทียบผลการทดลอง

นอกจากที่กล่าวมาข้างต้นการลดการสั่นสะเทือนโดยใช้ตัวดูดซับการสั่นสะเทือนแบบไม่มีตัวหน่วงยังถูกนำไปใช้ในวิชาการทดลองทางวิศวกรรมเครื่องกลในมหาวิทยาลัยในต่างประเทศซึ่งเป็นการทดลองขั้นพื้นฐานเพื่อศึกษาความสามารถในการลดการสั่นสะเทือนของตัวดูดซับการสั่นสะเทือน และศึกษาความถี่ธรรมชาติที่เปลี่ยนแปลงไปของระบบเมื่อมีตัวดูดซับการสั่นสะเทือนเข้ามาในระบบ หรือการนำเอาทฤษฎีของตัวดูดซับการสั่นสะเทือนไปจำลองโดยใช้แบบจำลองทางคณิตศาสตร์เพื่อแสดงผลทางหน้าจอคอมพิวเตอร์โดยใช้การโปรแกรม (Animation) เพื่อศึกษาการเคลื่อนที่ของมวลหลักและตัวดูดซับการสั่นสะเทือน

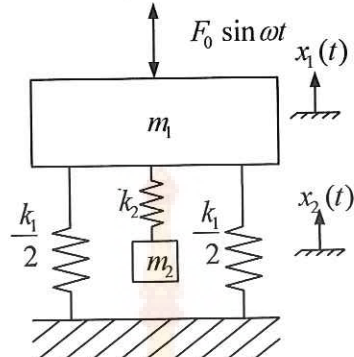
อย่างไรก็ตามงานวิจัยที่เกี่ยวข้องในต่างประเทศเป็นงานวิจัยเชิงลึกซึ่งต้องใช้โปรแกรมการคำนวณชั้นสูงและอุปกรณ์ที่มีราคาสูงซึ่งมิได้ศึกษาถึงหลักการพื้นฐานที่นำเสนอเจ้าที่ควร ดังนั้นในงานวิจัยนี้จึงมีความสนใจที่จะนำเอารหัศจรรย์พื้นฐานในการลดการสั่นสะเทือนโดยใช้ตัวดูดซับการสั่นสะเทือนที่ไม่ควรมองข้ามเพื่อศึกษาให้เห็นถึงความสามารถในการลดการสั่นสะเทือนและการเคลื่อนที่ของมวลหลักและตัวดูดซับโดยเน้นการทดลองและการวิเคราะห์ผลเป็นหลัก นอกจากนี้ยังเป็นการแสดงให้เห็นถึงพฤติกรรมในการเคลื่อนที่ของมวลหลักและตัวดูดซับได้อย่างชัดเจนอันจะทำให้เข้าใจและสามารถนำไปประยุกต์ใช้ในการใช้งานจริงต่อไป

### 2.1 งานวิจัยที่เกี่ยวข้อง

งานวิจัยที่เกี่ยวข้องถึงการลดการสั่นสะเทือนโดยใช้ตัวดูดซับการสั่นสะเทือนในประเทศไทยมีพฤษมนวัต เจริญ [2] ชี้ว่าการควบคุมแรงส่งผ่าน (Transmissibility) ไปยังพื้นโดยใช้ตัวดูดซับการสั่นสะเทือนที่ความเรื้อรอบของเครื่องจักรต่าง ๆ ในงานวิจัยได้แสดงให้เห็นว่าการลดการสั่นสะเทือนโดยใช้ตัวดูดซับสามารถลดการสั่นสะเทือนได้มาก นอกจากนี้ตัวดูดซับยังถูกออกแบบมาเพื่อใช้กับความถี่การสั่นสะเทือนที่ความถี่ต่าง ๆ ซึ่งหมายความว่าสามารถนำไปประยุกต์ใช้ในงานจริง

## 2.2 ทฤษฎี

หลักการลดการสั่นสะเทือนโดยใช้ตัวคูดซับการสั่นสะเทือนนั้นอาศัยหลักการพื้นฐานของการสั่นสะเทือนแบบสองระดับขั้นความเสรี (Two degree of freedom) แบบไม่มีตัวหน่วงดังแสดงในรูปที่ 2.1



รูป 2.1 แผนภาพแสดงหลักการลดการสั่นสะเทือนโดยใช้ตัวคูดซับการสั่นสะเทือน

โดยที่ $m_1$	หมายถึงมวลหลัก (kg)
$m_2$	หมายถึงมวลของตัวคูดซับการสั่นสะเทือน (kg)
$k_1$	หมายถึงค่าคงตัวสปริงของมวลหลัก $\left(\frac{\text{N}}{\text{m}}\right)$
$k_2$	หมายถึงค่าคงตัวสปริง (Spring constant) ของตัวคูดซับการสั่นสะเทือน $\left(\frac{\text{N}}{\text{m}}\right)$
$F_0$	หมายถึงแอมปลิจูด (Amplitude) ของแรง (N)
$\omega$	หมายถึงความถี่ของการสั่นสะเทือน (Excitation frequency) $\left(\frac{\text{rad}}{\text{s}}\right)$
$\omega_1$	หมายถึงความถี่ธรรมชาติของระบบมวลหลัก $\left(\frac{\text{rad}}{\text{s}}\right)$
$\omega_2$	หมายถึงความถี่ธรรมชาติของตัวคูดซับการสั่นสะเทือน $\left(\frac{\text{rad}}{\text{s}}\right)$
$X_1$	หมายถึงแอนปลิจูดของการกระจัด (Displacements) ของมวลหลัก (m)
$X_2$	หมายถึงแอนปลิจูดของการกระจัดของตัวคูดซับ (m)
$\delta_{st}$	หมายถึงระยะยึดสถิต (Static deflection) (m)

จากรูป 2.1 ระบบการสั่นสะเทือนที่ไม่มีตัวหน่วงประกอบด้วยมวลหลัก  $m_1$  วางอยู่บนสปริงที่มีค่าคงตัวเท่ากับ  $k_1$  ตัวคูดซับการสั่นสะเทือนประกอบด้วยมวล  $m_2$  วางอยู่บนสปริงที่มีค่าคงตัวเท่ากับ  $k_2$  ติดตั้งอยู่ที่มวลหลัก ความถี่ธรรมชาติของระบบมวลติดสปริงสามารถแสดงได้ดังสมการ 2.1

$$\omega = \sqrt{\frac{k}{m}} \quad (2.1)$$

ดังนั้นเมื่อสมมติให้เป็นการสั่นสะเทือนที่มีระดับขั้นความเสรีเท่ากับหนึ่ง ความถี่ธรรมชาติของระบบมวลหลัก

$$\omega_1 = \sqrt{\frac{k_1}{m_1}} \text{ และ } \text{ความถี่ธรรมชาติของตัวคูณซับ } \omega_2 = \sqrt{\frac{k_2}{m_2}}$$

เมื่อพิจารณาจากรูปจะเห็นได้ว่าระบบการสั่นสะเทือนมีระดับขั้นความเสรีเท่ากับสอง (Two degree of freedom) ดังนั้นอาศัยกฎการเคลื่อนที่ของนิวตัน สมการการเคลื่อนที่ของมวล  $m_1$  และ  $m_2$  สามารถเขียนเป็นสมการได้ดังสมการ 2.2 และ 2.3

$$m_1 \ddot{x}_1 + k_1 x_1 + k_2 (x_1 - x_2) = F_0 \sin \omega t \quad (2.2)$$

$$m_2 \ddot{x}_2 + k_2 (x_2 - x_1) = 0 \quad (2.3)$$

ผลเฉลยของสมการ (2.2) และ (2.3) สามารถแสดงได้ดังสมการ (2.4) และ (2.5)

$$X_1 = \frac{(k_2 - m_2 \omega^2) F_0}{(k_1 + k_2 - m_1 \omega^2)(k_2 - m_2 \omega^2) - k_2^2} \quad (2.4)$$

$$X_2 = \frac{k_2 F_0}{(k_1 + k_2 - m_1 \omega^2)(k_2 - m_2 \omega^2) - k_2^2} \quad (2.5)$$

พิจารณาสมการ 2.4 จะเห็นได้ว่า  $X_1$  ซึ่งหมายถึงการกระจัดของมวล  $m_1$  ที่ต้องการควบคุมจะมีค่าเท่ากับศูนย์ เมื่อ  $\omega^2 = \frac{k_2}{m_2}$  หากความสัมพันธ์ระหว่างระยะยึดสติกับแรงและค่าคงตัวแสดงได้ดังสมการ 2.6

$$\delta_{st} = \frac{F_0}{k_1} \quad (2.6)$$

สมการ 2.4, 2.5 และ 2.6 และสามารถจัดรูปใหม่ได้ดังสมการ 2.7 และ 2.8

$$\frac{X_1}{\delta_{st}} = \frac{1 - \left(\frac{\omega}{\omega_2}\right)^2}{\left[1 + \frac{k_2}{k_1} - \left(\frac{\omega}{\omega_1}\right)^2\right] \left[1 - \left(\frac{\omega}{\omega_2}\right)^2\right] - \frac{k_2}{k_1}} \quad (2.7)$$

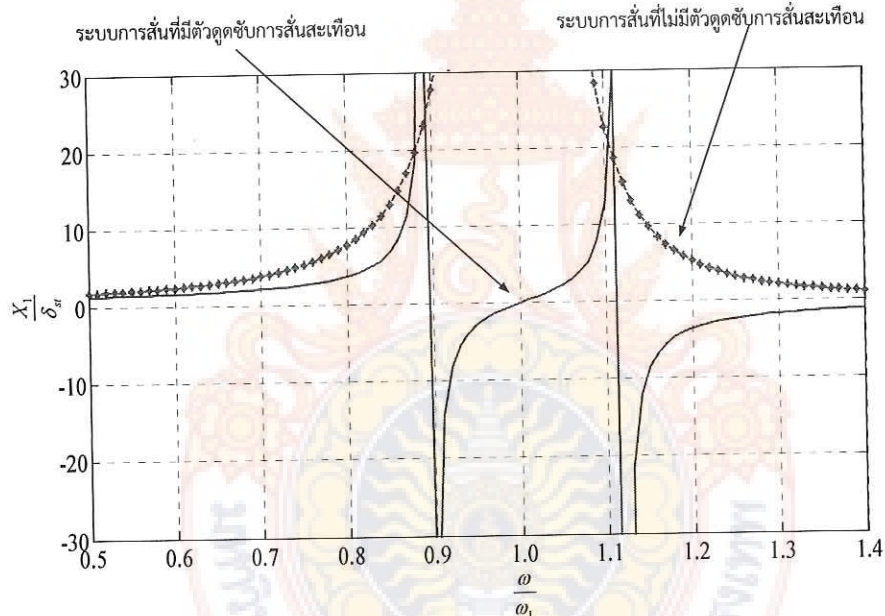
$$\frac{X_2}{\delta_{st}} = \frac{1}{\left[1 + \frac{k_2}{k_1} - \left(\frac{\omega}{\omega_1}\right)^2\right] \left[1 - \left(\frac{\omega}{\omega_2}\right)^2\right] - \frac{k_2}{k_1}} \quad (2.8)$$

จากสมการ 2.7 และ 2.8 หากออกแบบให้อัตราส่วน  $\frac{m_1}{m_2} = 20$  และ  $\omega_1 = \omega_2$  แล้วความสัมพันธ์ระหว่างผลตอบสนอง  $\frac{X_1}{\delta_{st}}$  กับอัตราส่วนความถี่  $\frac{\omega}{\omega_1}$  สามารถแสดงได้ดังกราฟรูป 2.2 ซึ่งแสดงให้เห็นว่าแอนบลิจูด

ของการกระจายของระบบที่มีตัวคูณซับจะเท่ากับศูนย์เมื่อ  $\frac{\omega}{\omega_1} = 1$  ในขณะที่การกระจายของระบบที่ไม่มีตัวคูณซับ

นั้นจะมีค่าสูงมากเมื่อ  $\frac{\omega}{\omega_1} = 1$  หรือเรียกว่าเกิดการสั่นพ้อง (Resonance) ดังนั้นหากต้องการ

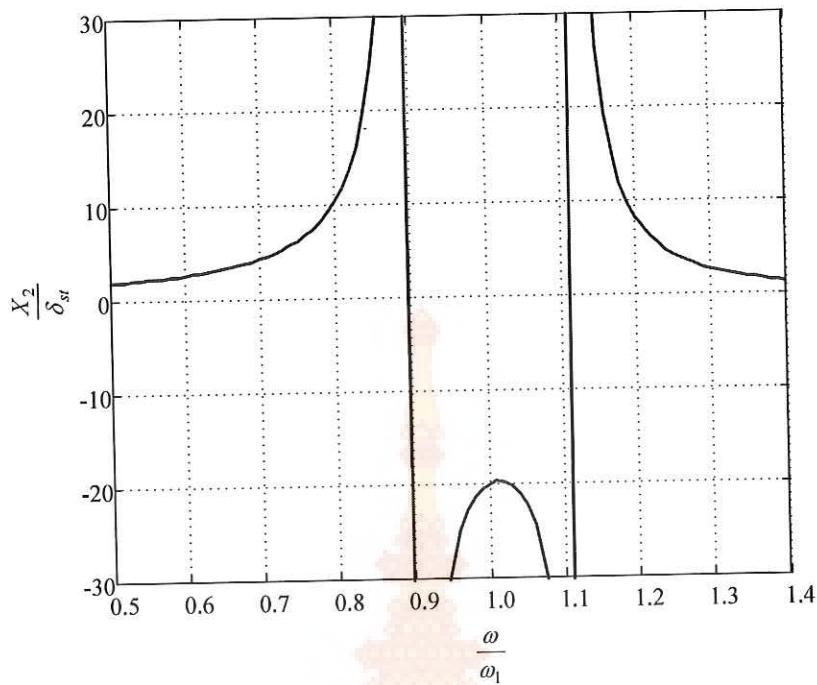
ควบคุมการสั่นสะเทือนให้มีแม่นยำและลดลง การสั่นสะเทือนเท่ากับศูนย์ หรือ  $X_1 = 0$  สามารถทำได้โดยการออกแบบให้ความถี่ธรรมชาติของตัวคูณซับมีค่าใกล้เคียงกับความถี่ของการสั่นสะเทือนหรือ  $\omega_2 \approx \omega$  อย่างไรก็ตามจากรูปจะเห็นได้ว่าระบบการสั่นสะเทือนที่ไม่มีตัวคูณซับนั้นจะมีแม่นยำและลดลงสูงขึ้นในบริเวณใกล้เคียงกับความถี่ธรรมชาติเดิมถึงสองค่าแทนซึ่งหมายถึงจำนวนความถี่ธรรมชาติที่เพิ่มขึ้นเนื่องจากระบบดังกล่าวเป็นระบบการสั่นสะเทือนที่มีสองระดับขั้นความเสริชซึ่งมีความถี่ธรรมชาติสองค่าเข่นกัน ดังนั้นหากออกแบบให้ตัวคูณซับการสั่นสะเทือนลดการสั่นสะเทือนที่ความถี่ที่ต้องการแล้วจะส่งผลทำให้เกิดความถี่ธรรมชาติที่ความถี่อื่นขึ้นใหม่แทนถึงสองค่า ซึ่งหากเครื่องจักรต้องทำงานผ่านความถี่ที่เกิดขึ้นใหม่นี้ก็จะส่งผลทำให้เกิดการสั่นพ้องและแม่นยำลดลงของการสั่นสะเทือนที่สูงขึ้นอีกเข่นกัน



รูป 2.2 กราฟแสดงความสัมพันธ์ระหว่างการตอบสนอง  $\left(\frac{X_1}{\delta_{st}}\right)$  กับอัตราส่วนความถี่  $\left(\frac{\omega}{\omega_1}\right)$

สำหรับความสัมพันธ์ระหว่าง อัตราส่วนการตอบสนอง  $\left(\frac{X_2}{\delta_{st}}\right)$  ของตัวคูณซับกับอัตราส่วนความถี่  $\left(\frac{\omega}{\omega_1}\right)$

สามารถแสดงได้ดังรูป 2.2 ซึ่งจากรูปจะเห็นได้ว่าถึงแม้ว่าอัตราส่วนการตอบสนองของ



รูป 2.3 กราฟแสดงความสัมพันธ์ระหว่างการตอบสนองของตัวคูดชับ  $\left(\frac{X_2}{\delta_{st}}\right)$  กับอัตราส่วนความถี่  $\left(\frac{\omega}{\omega_1}\right)$

มวลหลัก  $\left(\frac{X_1}{\delta_{st}}\right)$  ที่ความถี่  $\omega = \omega_1$  หรือ  $\left(\frac{\omega}{\omega_1}\right) = 1$  มีค่าเท่ากับศูนย์ แต่อัตราส่วนการตอบสนองของตัวคูด

ชับ  $\left(\frac{X_2}{\delta_{st}}\right)$  ซึ่งแสดงในรูป 2.3 นั้นไม่เท่ากับศูนย์แต่จะมีค่าสูงแทน นอกจากนี้อัตราส่วนการตอบสนองของตัวคูดชับจะมีค่าสูงที่ความถี่ใหม่อีกสองค่า เช่นเดียวกับมวลหลักซึ่งคือความถี่ธรรมชาติที่เกิดขึ้นใหม่

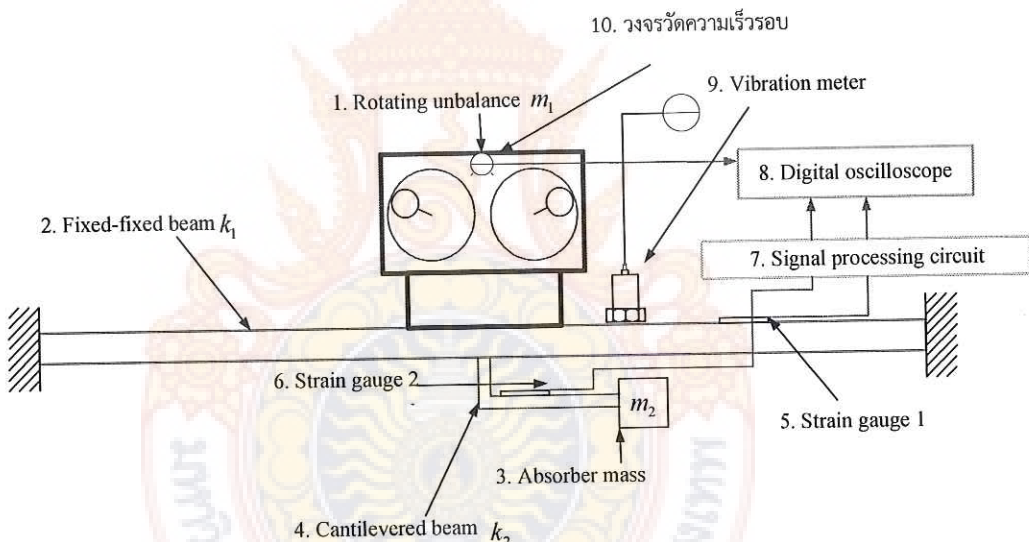
จากที่กล่าวมาข้างต้นนั้นเป็นเพียงการคำนวณทางทฤษฎีแสดงในรูปของกราฟ รูป 2.2 และ รูป 2.3 ซึ่งพบว่าหากออกแบบให้ความถี่ธรรมชาติของตัวคูดชับมีค่าเท่ากับความถี่ของการสั่นสะเทือน  $\omega_2 = \omega$  แล้วในทางทฤษฎีพบว่าแอมป์ลิจูดของมวลหลักมีค่าเท่ากับศูนย์ ในขณะที่แอมป์ลิจูดของตัวคูดชับกลับมีค่ามากอีกทั้งยังมีศีหทางตรงกันข้ามกับแรงสั่นสะเทือน (เนื่องจากมีเครื่องหมายเป็นลบ) ซึ่งทำให้การสั่นสะเทือนของมวลหลักเท่ากับศูนย์หรืออาจกล่าวได้ว่าสามารถลดการสั่นสะเทือนได้หมดสิ้น แต่ในทางปฏิบัตินั้นการลดการสั่นสะเทือนด้วยวิธีการตั้งกล่าวจะได้ผลมากน้อยเพียงไรนั้นยังไม่มีการทดลองศึกษาในรายละเอียดมากนัก ดังนั้นในโครงการนี้จึงมีความสนใจที่จะศึกษาวิธีการลดการสั่นสะเทือนโดยใช้ตัวคูดชับการสั่นสะเทือนโดยเน้นการทดลอง เพื่อนำผลการทดลองไปเปรียบเทียบกับการวิเคราะห์ทางทฤษฎีพร้อมทั้งศึกษาความเป็นไปได้ในการนำมาประยุกต์หรือออกแบบตัวคูดชับการสั่นสะเทือนเพื่อใช้ในอุตสาหกรรมจริง

## บทที่ 3

งานวิจัยนี้เน้นการทดลองเป็นหลัก โดยออกแบบชุดทดลองที่สามารถให้กำเนิดการสั่นสะเทือนได้ที่ความถี่ต่าง ๆ จากนั้นทำการวัดการกระจัดของการสั่นสะเทือนที่เกิดขึ้นด้วยเครื่องวัดการสั่นสะเทือน (Vibration meter) โดยศึกษาเบรี่ยบเทียบให้เห็นถึงความแตกต่างของการกระจัดระหว่างการไม่ใช้ตัวคูดซับการสั่นสะเทือนกับการใช้ตัวคูดซับการสั่นสะเทือน สำหรับการเคลื่อนที่ของมวลหลักและตัวคูดซับสามารถศึกษาได้โดยการใช้สเตรนเกจ (Strain gauge) ติดที่สปริงของมวลหลัก และติดที่สปริงของตัวคูดซับ จากนั้นศึกษาการเคลื่อนที่โดยใช้ออสซิลโลสโคป (Oscilloscope) อุปกรณ์ที่ใช้ในการทดลองสามารถแสดงได้ดังรูป 3.1

### 3.1 ส่วนประกอบของชุดทดลอง

ชุดทดลองดังแสดงในรูป 3.1 ประกอบด้วยอุปกรณ์ต่าง ๆ ดังนี้



รูป 3.1 แผนภาพ (Schematic) อุปกรณ์ที่ใช้ในการทดลอง

- มวลหลักพร้อมกลไกที่ทำให้เกิดการไม่สมดุล (Rotating unbalance)  $m_1$
- คานสปริงรองรับมวลหลักแบบปลายยึดแน่นทั้งสองด้าน (Fixed-fixed beam)  $k_1$
- มวลของตัวคูดซับการสั่นสะเทือน  $m_2$
- คานสปริงแบบคานทิเลเวอร์ (Cantilevered beam) ของตัวคูดซับ  $k_2$

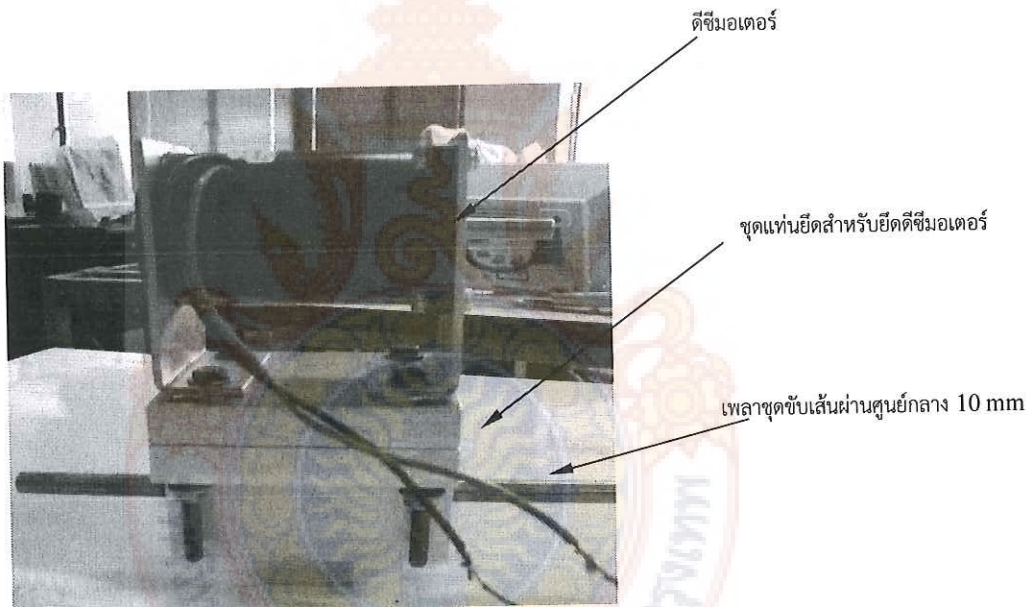
5. สเตรนเกจ 1 สำหรับตรวจจับการเคลื่อนที่ของมวลหลัก
6. สเตรนเกจ 2 สำหรับตรวจจับการเคลื่อนที่ของตัวดูดซับ
7. วงจรประมวลผลสัญญาณ (Signal processing circuit)
8. ดิจิตอลอสซิลโลสโคป (Digital oscilloscope)
9. เครื่องวัดการสั่นสะเทือน (Vibration meter)
10. วงจรวัดความเร็วรอบ

สำหรับรายละเอียดของอุปกรณ์ต่าง ๆ ของชุดทดลองสามารถอธิบายได้ดังต่อไปนี้

### 3.2 รายละเอียดของอุปกรณ์ที่ใช้ในการทดลอง

#### 3.2.1 มวลหลักพร้อมกลไกที่ทำให้เกิดการไม่สมดุล (Rotating unbalance) $m_1$ ประกอบด้วย

- 3.2.1.1 มอเตอร์ดีซี (DC Motor) ความเร็วรอบสูงสุด 9,000 รอบต่อนาที
- แกนเพลามีเส้นผ่านศูนย์กลาง 10 mm ดังแสดงในรูป 3.2

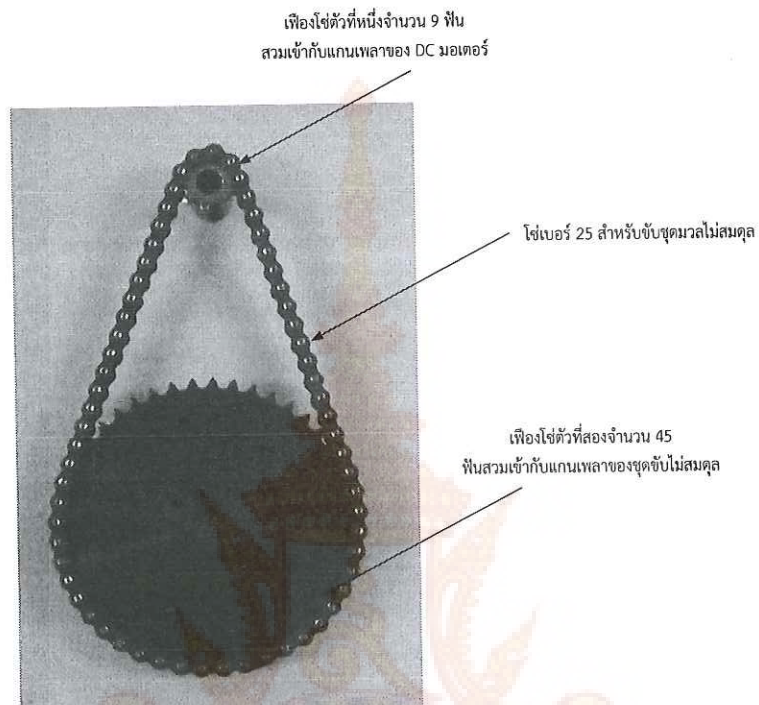


รูป 3.2 ชุดดีซีมอเตอร์และแท่นสำหรับรองรับ

- 3.2.1.2 ชุดแท่นสำหรับยึดดีซีมอเตอร์ทำจากอลูминียมถูกออกแบบสำหรับยึดจับมอเตอร์ กับมวลไม่สมดุลและยึดกับชุดดูดซับการสั่นสะเทือน

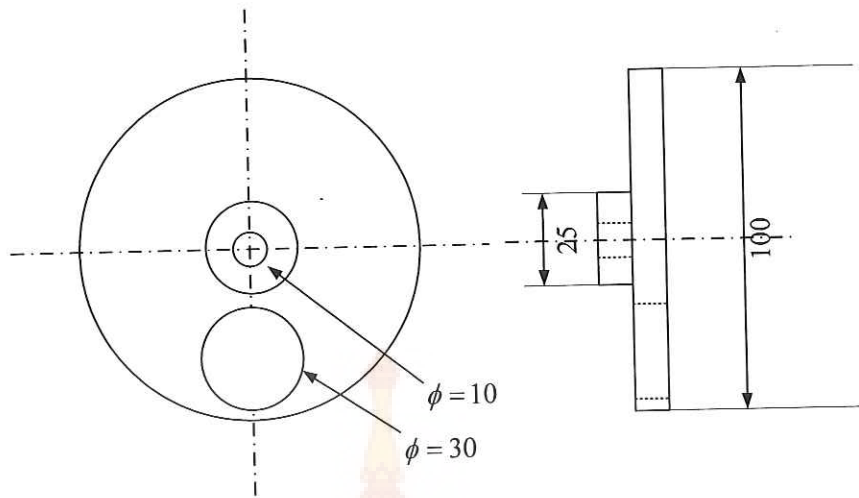
- 3.2.1.3 ชุดเพ้องทดลองสำหรับขับมวลไม่สมดุล ประกอบด้วยเพ้องโซ่ 2 ชิ้น เพ้องโซ่ชิ้นที่หนึ่งมี จำนวนฟัน 9 ฟัน เพ้องชิ้นนี้จะถูกสวมให้เข้ากับแกนเพลาของดีซีมอเตอร์ที่มีขนาด

เส้นผ่านศูนย์กลาง 10 mm ส่วนเพื่องโซ่ขึ้นที่สองมีจำนวนฟัน 45 ฟัน ถูกสวมให้เข้ากับเกนเพลาของชุดมวลไม่สมดุลที่มีขนาดเส้นผ่านศูนย์กลาง 10 mm เพื่อโซ่หงส์สองลูกขึ้บเคลื่อนโดยโซ่เบอร์ 25 อัตราส่วนการทดเท่ากับ 5:1 ดังแสดงในรูป 3.3



รูป 3.3 ชุดเพื่องโซ่สำหรับขับเคลื่อนมวลไม่สมดุล

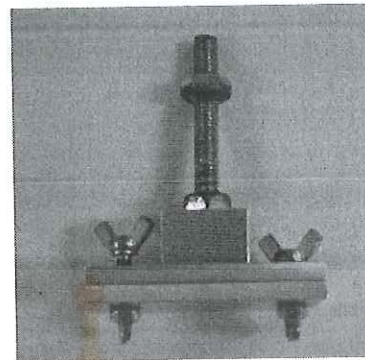
3.2.1.4 มวลไม่สมดุล ในการทดลองนี้ใช้อุปกรณ์ที่มีขนาดเส้นผ่านศูนย์กลาง 10 mm เจาะรูขนาดเส้นผ่านศูนย์กลางมีขนาดตั้งแต่ 9.5 mm ถึง 10.5 mm ในรูป 3.4 และ 3.5



รูป 3.4 แผนภาพแสดงขนาดของมวลไม่สมดุล



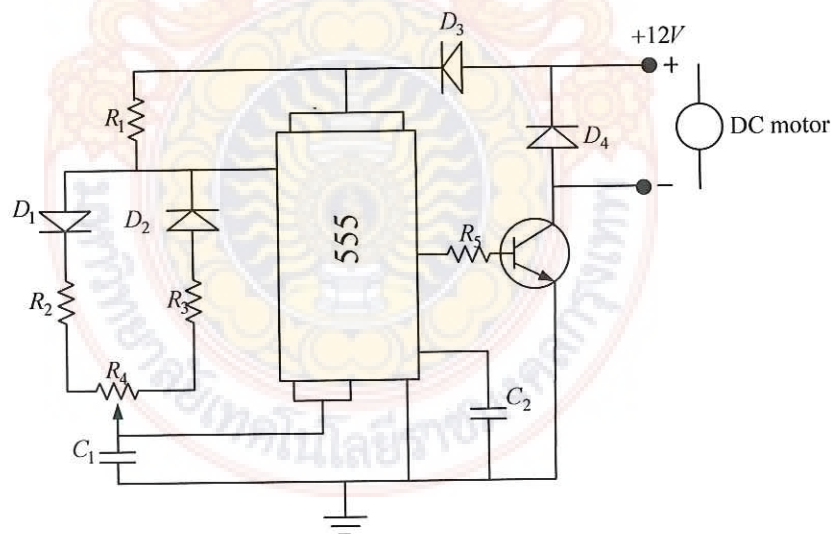
3.2.1.5 ชุดยึดติดตัวถุดซับมีหน้าที่สำหรับยึดติดชุดของตัวถุดซับกับชุดของมวลหลัก



รูป 3.6 ชุดยึดติดตัวถุดซับเข้ากับชุดมวลหลัก

3.2.1.6 วงจรขับดีซีมอเตอร์

ชุดวงจรขับดีซีมอเตอร์ใช้หลักการควบคุมความเร็วโดยการกำหนดความกว้างพัลส์ที่ไปขับชุดมอเตอร์ หากต้องการความเร็วสูงจะจะจ่ายโวลต์ที่มีความกว้างพัลส์มากและที่ความเร็วต่ำจะจะจ่ายโวลต์ที่มีความกว้างพัลส์น้อยโดยรายละเอียดของวงจรสามารถแสดงได้ดังรูป 3.7



รูป 3.7 วงจรขับดีซีมอเตอร์

### 3.2.2 คานสปริงรองรับมวลหลักแบบปลายยึดแน่นทั้งสองด้าน (Fixed-fixed beam)

ในการทดลองนี้ใช้แผ่นเหล็กสำหรับยึดติดกับมวลไม่สมดุลทำหน้าที่เหมือนสปริงโดยค่าคงตัวของสปริง (Stiffness) สามารถหาได้ดังสมการ 3.1 ความยาวของแผ่นเหล็กสามารถปรับได้เพื่อใช้สำหรับทดลองการสั่นสะเทือนที่ความถี่ต่าง ๆ

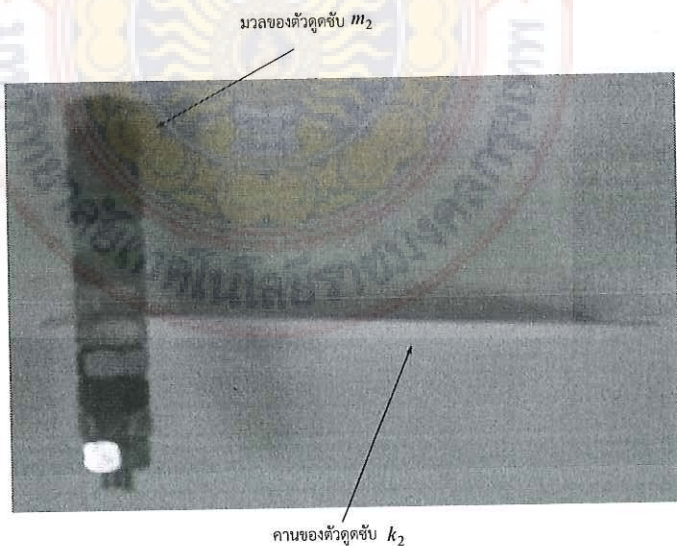
$$k = \frac{192EI}{L^3} \quad (3.1)$$

สำหรับขนาดของแผ่นเหล็กที่ทำหน้าที่เหมือนสปริงจะขึ้นอยู่กับความถี่ที่ใช้ในการทดลองโดยในการทดลองที่ความถี่ 6 Hz ใช้แผ่นเหล็กหนากว้าง 55 mm หนา 2 mm ยาว 62 cm ทำหน้าที่เหมือนสปริงที่รองรับชุดมวลหลัก และใช้เหล็กหนากว้าง 50.8 mm (2 in) หนา 3 mm ยาว 62 cm สำหรับทดลองที่ความถี่ 11 Hz ซึ่งจะได้กล่าวต่อไปในสปริงสามารถแสดงได้ดังแสดงในรูป 3.8



รูป 3.8 คานสปริงสำหรับรองรับมวลหลัก

### 3.2.3 มวลของตัวถูกซับการสั่นสะเทือน $m_2$



รูป 3.9 คานและมวลของตัวถูกซับการสั่นสะเทือน

ในการทดลองนี้ได้ใช้น็อต (Nut) ขนาด  $3/8$  in sworth เข้ากับสกรูขนาด  $3/8$  in ยึดติดกับสปริงแผ่น ตั้งแสดงในรูป โดยมวลของตัวคูณซึ่งสามารถปรับเปลี่ยนได้โดยการเพิ่มหรือลดจำนวนของน็อต

### 3.2.4 คานสปริงแบบคานทิลเวอร์ (Cantilevered beam) ของตัวคูณซึ่บ

สปริงของตัวคูณซึบใช้สปริงแผ่นที่มีความหนา  $0.5$  mm กว้าง  $50.8$  mm ( $2$  in)

ยึดติดกับชุดยึดตัวคูณซึบแบบคานทิลเวอร์ (Cantilevered beam) ซึ่งชุดยึดตัวคูณซึบนี้ถูกออกแบบให้สามารถยึดเข้ากับชุดมวลไม่สมดุลได้ สำหรับความยาวของคานสปริงสามารถปรับได้เพื่อควบคุมความถี่ธรรมชาติของระบบมวล สปริงของตัวคูณซึบ โดยค่าคงตัวของสปริงสามารถหาได้ดังสมการ 3.2

$$k = \frac{3EI}{L^3} \quad (3.2)$$

### 3.2.5 สเตرنเกจสำหรับตรวจจับการเคลื่อนที่ของมวลหลัก (สเตرنเกจ 1)

ในการศึกษาการเคลื่อนที่ของมวลหลักสามารถทำได้โดยการติดสเตرنเกจที่ปลายคานแบบปลายยึดทั้งสองด้านเพื่อตรวจจับสัญญาณการเคลื่อนที่ของมวลหลักทั้งนี้เนื่องจากความต้านทานของสเตرنเกจจะเปลี่ยนไปเมื่อมีการยืดหรือหดตัวของสเตرنเกจ ดังนั้นหากมีการเคลื่อนที่ในทิศทางขึ้นสเตرنเกจจะยืดออก ในทางตรงกันข้ามหากมีการเคลื่อนที่ลงจะทำให้สเตرنเกจมีความยาวสั้นลง การยืดหรือหดของสเตرنเกจทำให้เกิดการเปลี่ยนแปลงความต้านทาน และเมื่อนำสเตرنเกจเข้าวงจรวีธีสโตรนบริดจ์ (Wheatstone bridge) จะทำให้เกิดการเปลี่ยนแปลงของสัญญาณที่ได้จากการวีธีสโตรนบริดจ์ จากนั้นนำสัญญาณมาขยายจะทำให้เห็นสัญญาณการเคลื่อนที่ของมวลหลัก โดยในการทดลองนี้ได้ใช้สเตرنเกจ TML Type FLA-5-11 ตั้งแสดงในรูป คุณสมบัติของสเตรนเกจมีความยาวเกจ (Gauge length) เท่ากับ  $5$  mm ความต้านทาน  $120 \pm 3 \Omega$  มีค่าเกจแฟกเตอร์ (Gauge factor) เท่ากับ  $2.11$  ดังแสดงในรูป 3.10



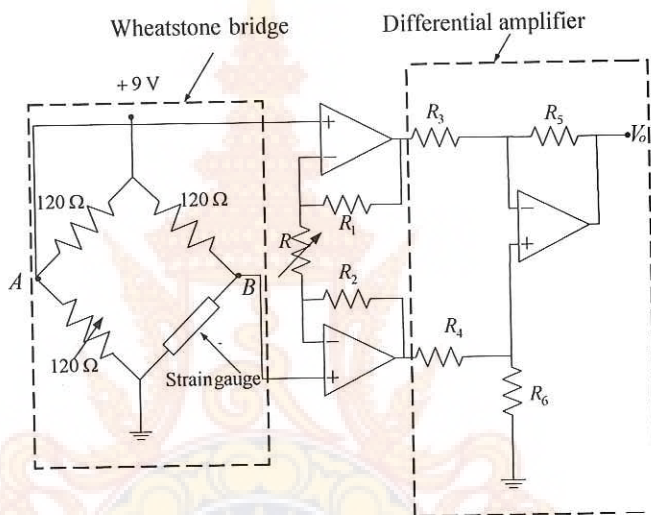
รูป 3.10 สเตرنเกจที่ใช้ในการทดลอง

### 3.2.6 สเตرنเกจสำหรับตรวจจับการเคลื่อนที่ของตัวดูดซับ (สเตرنเกจ 2)

ในการศึกษาการเคลื่อนที่ของตัวดูดซับทำได้เช่นเดียวกับการตรวจจับการเคลื่อนที่ของมวลหลักโดยการใช้สเตرنเกจที่ติดคานแบบคานทิเลเวอร์ สเตرنเกจที่ใช้เป็นชนิดเดียวกับที่ใช้ในการตรวจจับการเคลื่อนที่ของมวลหลัก

### 3.2.7 วงจรประมวลผลสัญญาณ (Signal processing circuit)

จากที่กล่าวมาแล้วในหัวข้อ 3.2.5 และ 3.2.6 มาแล้วนั้น สเตرنเกจจำเป็นต้องใช้วงจรสำหรับประมวลผลสัญญาณที่เกิดขึ้นโดยวงจรที่ใช้สามารถแสดงได้ดังรูป 3.11

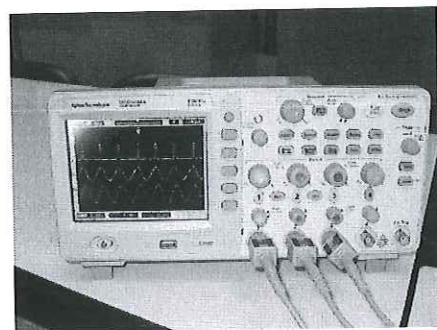


รูป 3.11 แผนภาพวงจรประมวลผลสัญญาณ

วงจรประมวลผลสัญญาณดังแสดงในรูป 3.11 แบ่งออกเป็นส่วนสำคัญสองส่วนดังนี้ ส่วนที่หนึ่งคือส่วนของวงจรเวสโตรนบริดจ์ สเตرنเกจจะถูกนำมาต่อ กับวงจรเวสโตรนบริดจ์หากมีการเคลื่อนที่เกิดขึ้นความต้านทานของสเตرنเกจจะเปลี่ยนแปลงไปทำให้บริจจ์ไม่สมดุล และเกิดแรงดันขึ้นระหว่างจุด A และจุด B ส่วนที่สองคือวงจรขยายสัญญาณทำหน้าที่ขยายสัญญาณ (Differential amplifier) ที่เกิดขึ้นระหว่างจุด A และจุด B

### 3.2.8 ดิจิตอลอสซิลโลสโคป (Digital oscilloscope)

สัญญาณการเคลื่อนที่ของมวลหลักและตัวดูดซับสามารถวัดได้โดยใช้ดิจิตอลอสซิลโลสโคป Agilent DSO 1004 ดังแสดงในรูป 3.12 เพื่อตรวจจับรูปแบบการเคลื่อนที่หรือเฟส (Phase) ของการเคลื่อนที่ของมวลหลักและตัวดูดซับการสั่นสะเทือน



รูป 3.12 ออสซิลโลสโคป Agilent DSO 1004

### 3.2.9 เครื่องวัดการสั่นสะเทือน (Vibration meter)

เครื่องวัดการสั่นสะเทือนที่ใช้ในการทดลองนี้จะใช้เพื่อทำการตรวจวัดการสั่นสะเทือนที่เกิดขึ้นที่ความถี่ต่าง ๆ ในการทดลองนี้ได้ใช้เครื่องวัดการสั่นสะเทือน Rion รุ่น VM-82 ตัววัดความเร่ง (Accelerometer) รุ่น PV-57 ค่าความไว (Sensitivity) เท่ากับ  $5.1 \frac{mV}{m/s^2}$  ดังแสดงในรูป 3.13

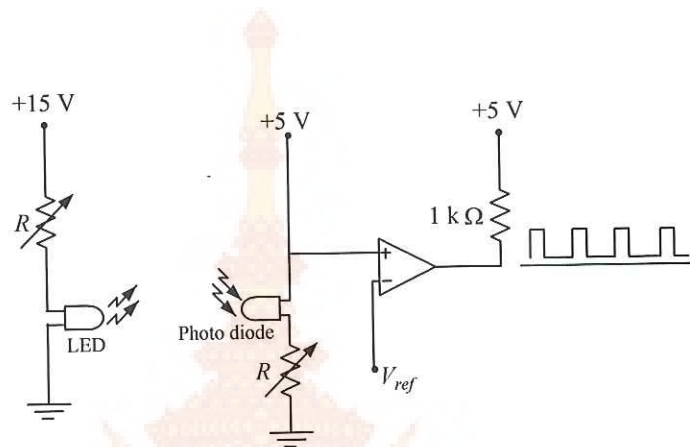


รูป 3.13 เครื่องวัดการสั่นสะเทือน Rion VM-82

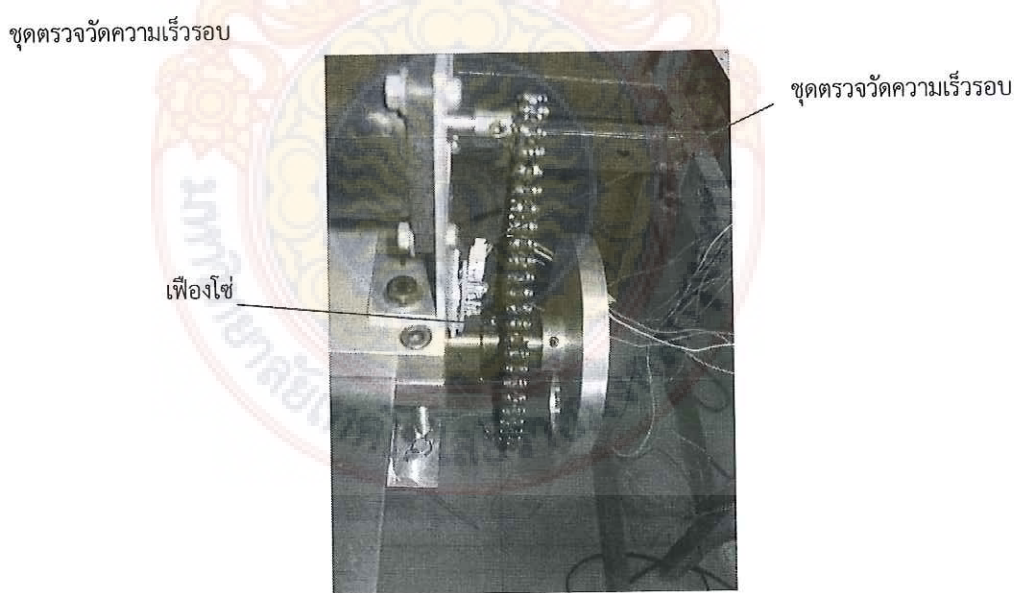
### 3.2.10 ชุดตรวจความเร็วรอบ (Tachometer)

ในการตรวจความเร็วรอบของมอเตอร์หรือความถี่ของการสั่นสะเทือนทำได้ใช้ชุดตรวจวัดความเร็วแบบแสงซึ่งประกอบด้วย LED ที่มีความยาวคลื่นในช่วงอินฟารेड กับโพโตไดโอดเพื่อทำหน้าที่ในการตรวจจับความเร็วรอบของเพียงโซ่ที่ใช้ขั้บมวลไม่สมดุล หลักการทำงานอาศัยหลักการของโพโตไดโอดซึ่งให้กระแสไฟฟ้าเปลี่ยนไปตามความเข้มของแสงที่ตกกระทบ ดังนั้นในการทดลองนี้จึงใช้แสงอินฟารेडที่ได้จาก LED ส่องกระทบกับแผ่นสะท้อนแสงซึ่งติดอยู่กับชุดเพียงที่ใช้ขั้บมวลไม่

สมดุล เมื่อตำแหน่งซึ่งแผ่นสะท้อนแสงผ่านไฟฟ้าได้โดยจะจะสะท้อนแสงให้ตกลงบนไฟฟ้าได้โดยส่งผลทำให้กระแสไฟฟ้าที่ออกจากไฟฟ้าได้โดยเปลี่ยนแปลงไปหากกระแสไฟฟ้าดังกล่าวผ่านความต้านทานจะได้สัญญาณไฟฟ้าที่เปลี่ยนไป โดยการนำสัญญาณไฟฟ้าเข้าสู่วงจรเปรียบเทียบสัญญาณ (Comparator) ดังแสดงในรูป 3.14 จะให้อาร์พุทเป็นสัญญาณพัลส์ซึ่งมีความถี่เท่ากับความเร็วของ การสั่นสะเทือน ชุดตรวจวัดความเร็วrobจะถูกติดตั้งอยู่กับชุดขับมวลไม่สมดุลดังแสดงในรูป 3.15



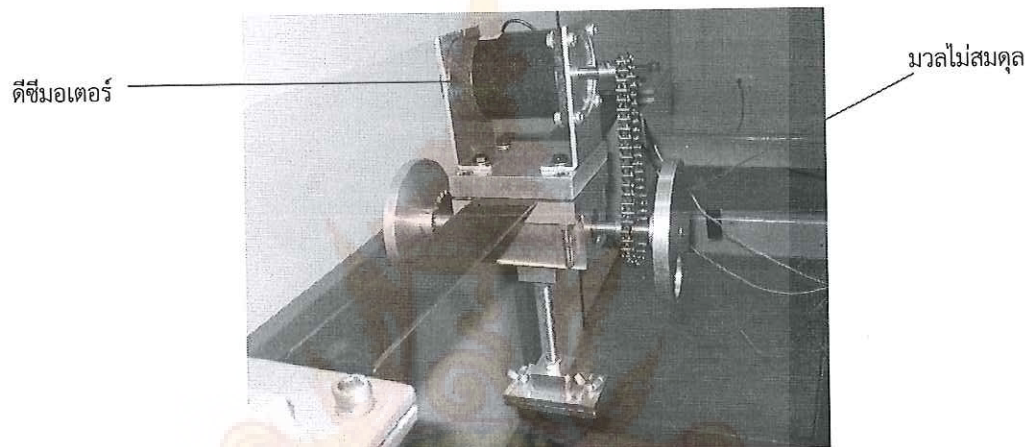
รูป 3.14 แผนภาพชุดตรวจวัดความเร็วrob



รูป 3.15 ชุดตรวจวัดความเร็วrobติดตั้งอยู่กับชุดขับมวลไม่สมดุล

### 3.3 การออกแบบชุดทดลอง

ในการทดลองจะให้มวลไม่สมดุลซึ่งประกอบด้วยหน้าจานเจาะรูประกลบเข้ากับชุดขับมวลไม่สมดุลติดตั้งบนคานรองรับดังแสดงในรูป 3.16 ดังนั้นชุดมวลหลักจะเกิดการสั่นบนแผ่นคานสปริงภายใต้แรง harmonic มอนิก (Harmonic force) ที่ความถี่ต่าง ๆ ตามความเร็วรอบของมอเตอร์ โดยชุดคานสปริงพร้อมมวลไม่สมดุลที่ใช้ในการทดลองจะถูกออกแบบให้มีความถี่共振 ชาติของระบบมวลหลักเท่ากับความถี่ที่ใช้ในการทดลองเพื่อให้เกิดการสั่นพ้อง (Resonance) ทั้งนี้เนื่องจากต้องการให้ระบบมวลหลักเกิดการสั่นในแนมพลิจูด (Amplitude) ที่สูงมากพอที่จะศึกษาความสามารถในการลดการสั่นสะเทือนเมื่อใช้ตัวคูดขับการสั่นสะเทือนได้โดยในการทดลองนั้นจะทดลองการคูดขับการสั่นสะเทือนภายใต้แรง harmonic มอนิก (Harmonic force) ที่ความถี่เท่ากับ 6 Hz และ 11 Hz ตามลำดับ ซึ่งมีรายละเอียดในการออกแบบดังนี้



รูป 3.16 ชุดขับมวลไม่สมดุลติดตั้งบนคานสปริงแบบปลายยึดแน่นทั้งสองด้าน

#### 3.3.1 การออกแบบขนาดของแผ่นคานรองรับมวลหลัก

ในการทดลองการลดการสั่นสะเทือนที่ความถี่ 6 Hz จะต้องออกแบบความถี่共振 ชาติของระบบมวลหลักให้มีค่าเท่ากับ 6 Hz ซึ่งมวลหลักมีมวลเท่ากับ 3.54 kg การคำนวณเป็นมวลยึดติดปลายแน่นทั้งสองข้าง (Fixed fixed beam) การหาความถี่共振 ชาติสามารถหาได้โดยใช้สมการ  $\sqrt{\frac{k}{M}}$

$$M = m + m_{eff} \quad (3.3)$$

โดยที่  $M$  หมายถึงมวลรวมทั้งหมดของระบบ

$m$  หมายถึงมวลของมวลหลัก ( $3.54 \text{ kg}$ )

$m_{eff}$  หมายถึงมวลยังผล (Effective mass) ในกรณีที่นำมวลของคานสปริงมาใช้ในการคำนวณโดยมวลยังผลนี้สามารถหาได้โดยใช้หลักการพลังงานของเรลีย (Rayleigh's energy method)

ดังสมการ 3.4

1368

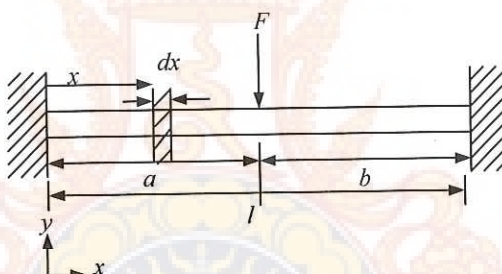
$$dT_s = \frac{1}{2} \left( \frac{m_s}{l} dx \right) \dot{y}^2 \quad (3.4)$$

โดยที่ $T_s$	หมายถึงพลังงานจลน์ของคานสปริง	J
$m_s$	หมายถึงมวลของคาน	kg
$l$	หมายถึงความยาวของคาน	m
$y$	หมายถึงระยะโค้ง (Deflection) ของคานที่ตำแหน่งใด ๆ	m
$\dot{y}$	หมายถึงความเร็วของคานสปริงที่ตำแหน่งต่าง ๆ ของคานสปริง	$\frac{m}{s}$
$x$	หมายถึงระยะตำแหน่งจากจุดเริ่มต้น	m

สำหรับสมการการโค้งของคาน (Deflection of beam) ในกรณีที่เป็นคานปลายยึดแน่นทั้งสองด้านดังแสดงในรูป 3.17 สามารถหาได้ดังสมการ 3.5

$$y(x) = \frac{Pb^2 x^2}{6EI^3} [3al - x(3a + b)] \quad 0 \leq x \leq a \quad (3.5)$$

$E$	หมายถึง Young's Modulus	$\frac{N}{m^2}$
$I$	Moment of Inertial of area	$m^4$



รูป 3.17 แผนภาพคานแบบปลายยึดแน่นทั้งสองด้าน

ตำแหน่งที่มีการโค้งสูงสุดคือตำแหน่งที่กึ่งกลางคาน ,  $\frac{l}{2}$

$$\text{ดังนั้น } y_{max} = \frac{Pl^3}{192EI} \quad (3.6)$$

โดยที่ $y_{max}$	หมายถึง ระยะโค้งสูงสุดของคาน	
E	หมายถึง Young's Modulus	$\frac{N}{m^2}$

ระยะโค้งที่ตำแหน่งใด ๆ สามารถแสดงได้ดังสมการ 3.7

$$y(x) = \frac{8y_{max}x^2}{l^3} \left[ 3\frac{l}{2} - 2x \right] \quad (3.7)$$

ความเร็วของคานสปริงที่ตำแหน่งใด ๆ  $\dot{y}(x)$  สามารถแสดงได้ดังสมการ 3.8

$$\ddot{y}(x) = \frac{8\dot{y}_{max}x^2}{l^3} \left[ 3\frac{l}{2} - 2x \right] \quad (3.8)$$

$$T_s = 2 \int_0^{l/2} \frac{1}{2} \dot{y}^2 dm = 2 \frac{m_s}{l} \int_0^{l/2} \dot{y}^2 dx \quad (3.9)$$

แทนสมการ 3.8 ลงในสมการ 3.9 จะได้สมการ 3.10

$$\begin{aligned} T_s &= 2 \int_0^{l/2} \frac{1}{2} \dot{y}^2 dm = 2 \frac{m_s}{l} \frac{1}{2} \left( \frac{8\dot{y}_{max}}{l^3} \right)^2 \int_0^{l/2} \left( \frac{3lx^2}{2} - 2x^3 \right)^2 dx \\ T_s &= \frac{m_s}{l} \left( \frac{8\dot{y}_{max}}{l^3} \right)^2 \int_0^{l/2} \left( \frac{3lx^2}{2} - 2x^3 \right)^2 dx \\ T_s &= \frac{m_s}{l} \left( \frac{8\dot{y}_{max}}{l^3} \right)^2 \left( \frac{13}{4480} l^7 \right) \end{aligned} \quad (3.10)$$

พลังงานจลน์ของคานสปริงແສດງได้ดังสมการ 3.11

$$\frac{1}{2} m_{eff} \dot{y}_{max}^2 = \frac{1}{2} m_s \frac{13}{35} \dot{y}_{max}^2 \quad (3.11)$$

$$\text{ดังนั้น } m_{eff} = \frac{13}{35} m_s \quad (3.12)$$

จากสมการ 3.1 หากกำหนดให้ค่าความถี่ธรรมชาติของระบบมวลติดสปริงมีค่าเท่ากับ

$$\omega_n = \sqrt{\frac{k}{m}}$$

ดังนั้นหากใช้คานเป็นเหล็กที่มีความหนา ( $h$ ) เท่ากับ 2 mm หน้ากว้าง ( $b$ ) เท่ากับ 55 mm ความยาว ( $l$ ) เท่ากับ 62 cm กำหนดคุณสมบัติต่าง ๆ ของเหล็กที่ใช้เป็นคานมีความหนาแน่น ( $\rho$ ) เท่ากับ  $7,800 \frac{\text{kg}}{\text{m}^3}$  ค่าyoung's modulus ( $E$ ) เท่ากับ 200 GPa มวลของสปริงมีค่าเท่ากับ 0.532 kg เส้นความถี่ธรรมชาติของระบบมวลหลักจะได้

$$\omega_n = \sqrt{\frac{k}{m}} = \sqrt{\frac{5908}{3.54 + \frac{13}{35} 0.532}} = 39.76 \text{ rad/s}$$

หรือเท่ากับ 6.33 Hz.

ในทำนองเดียวกันในการทดลองการสั่นสะเทือนที่ความถี่ 11 Hz จะใช้หลักการคำนวณเช่นเดียวกันกับ การทดลองที่ความถี่เท่ากับ 6 Hz ซึ่งตัวแปรต่าง ๆ สามารถແສດງได้ดังตาราง 3.1

ตาราง 3.1 คุณสมบัติของแผ่นคานสปริงที่รองรับมวลหลัก

	ความถี่ 6 Hz	ความถี่ 11 Hz
ความหนา, $h$ (m)	$2 \times 10^{-3}$	$3 \times 10^{-3}$
ความกว้าง, $b$ (m)	$5.5 \times 10^{-2}$	$5.08 \times 10^{-2}$
ความยาว, $l$ (m)	$6.2 \times 10^{-1}$	$6.2 \times 10^{-1}$
ยังมอตตัส, $E$ (Pa)	$200 \times 10^9$	$200 \times 10^9$
ความหนาแน่น, $\rho$ ( $\frac{\text{kg}}{\text{m}^3}$ )	7,800	7,800
ค่าคงตัวสปริง, $k$ ( $\frac{\text{N}}{\text{m}}$ )	5,908	18,416
มวลของคานสปริง, $m_s$ (kg)	0.532	0.737
มวลยังผล, $m_{eff}$ (kg)	0.1976	0.274
ความถี่ธรรมชาติ, $\omega_n$	39.76 rad/s (6.3 Hz)	69.48 rad/s (11.06 Hz)

### 3.3.2 การออกแบบขนาดของแผ่นคานสำหรับรองรับตัวคูดซับการสั่นสะเทือน

ดังที่ได้กล่าวมาแล้วในหัวข้อ 3.2.4 ถึงการออกแบบคานสำหรับรองรับตัวคูดซับการสั่นสะเทือนซึ่งต้องออกแบบให้มีความถี่ธรรมชาติของระบบมวลติดสปริงเท่ากับความถี่ที่ใช้ในการทดลอง ดังนั้นในการทดลองที่ความถี่ 6 Hz และ 11 Hz คานรองรับตัวคูดซับจะต้องถูกออกแบบให้มีความถี่ธรรมชาติเท่ากับ 6 Hz และ 11 Hz เช่นกัน ซึ่งความถี่ธรรมชาติของระบบมวลติดสปริงสำหรับตัวคูดซับสามารถปรับค่าคงตัว (Stiffness) ของสปริงโดยการปรับความยาวของแผ่นคานแบบคานที่เลเวอร์เพื่อให้ได้ความถี่ธรรมชาติที่ต้องการ สำหรับมวลยังผลของคานแบบคานที่เลเวอร์สามารถแสดงได้ดังสมการ 3.13

$$m_{eff} = 0.23m_s \quad (3.13)$$

โดยคุณสมบัติของแผ่นคานสปริงที่ใช้รองรับตัวคูดซับการสั่นสะเทือนที่ความถี่ 6 Hz และ 11 Hz สามารถแสดงได้ดังตาราง 3.2

ตาราง 3.2 คุณสมบัติของแผ่นคานสปริงที่รองรับตัวดูดซับการสั่นสะเทือน

	ความถี่ 6 Hz	ความถี่ 11 Hz
ความหนา, $h$ (m)	$5 \times 10^{-4}$	$5 \times 10^{-4}$
ความกว้าง, $b$ (m)	$5.08 \times 10^{-2}$	$5.08 \times 10^{-2}$
ความยาว, $l$ (m)	$9.5 \times 10^{-2}$	$5.0 \times 10^{-2}$
ยั่งมอดูลัส, $E$ (Pa)	$200 \times 10^9$	$200 \times 10^9$
ความหนาแน่น, $\rho$ ( $\frac{\text{kg}}{\text{m}^3}$ )	7,800	7,800
ค่าคงตัวสปริง, $k$ ( $\frac{\text{N}}{\text{m}}$ )	370	2,540
มวลของคานสปริง, $m_s$ (kg)	$1.88 \times 10^{-2}$	$9.91 \times 10^{-3}$
มวลของตัวดูดซับ, $m$ (kg)	0.20	0.26
มวลยังผล, $m_{eff}$ (kg)	$4.33 \times 10^{-3}$	$2.28 \times 10^{-3}$
ความถี่ธรรมชาติ, $\omega_n$	39.76 rad/s (6.3 Hz)	98.41 (15.6 Hz)

ตัวดูดซับการสั่นสะเทือนจะยึดติดกับคานและชุดมวลหลักดังแสดงในรูป 3.18

ตัวดูดซับการ  
สั่นสะเทือน



รูป 3.18 ตัวดูดซับการสั่นสะเทือนยึดติดกับคานและมวลหลัก

### 3.4 วิธีการทดลอง

ในการทดลองมุ่งเน้นที่จะศึกษาการสั่นสะเทือนที่เกิดขึ้นกับระบบมวลหลักทั้งก่อนและหลังการใช้ตัวคูดซับการสั่นสะเทือนที่ความถี่ 6 Hz และ 11 Hz ซึ่งรายละเอียดและขั้นตอนการทดลองมีดังต่อไปนี้โดยสามารถแบ่งออกได้ดังนี้

#### 3.4.1 การทดลองสั่นสะเทือนของมวลหลักบนแผ่นคานสปริงโดยไม่มีตัวคูดซับ

- 3.4.1.1 จัดวางตำแหน่งของอุปกรณ์ทดลองดังแสดงในรูป 3.19
- 3.4.1.2 ทดลองหาความถี่ธรรมชาติของระบบโดยใช้วิธีการเคาะ
- 3.4.1.3 บันทึกรูปคลื่นสัญญาณที่ได้พร้อมความถี่ในอสซิลโลสโคป
- 3.4.1.4 เริ่มปรับความเร็วรอบตั้งแต่ความเร็วรอบต่ำ ๆ
- 3.4.1.5 ใช้อสซิลโลสโคปตรวจสอบสัญญาณ 2 สัญญาณ อันได้แก่สัญญาณความเร็วรอบซึ่งมีลักษณะเป็นสัญญาณพัลส์ สัญญาณจากสเตรนเกจที่ติดอยู่บนคานสปริงที่รองรับมวลหลักบันทึกการกระแสจดของ การสั่นสะเทือนแบบกำลังสองเฉลี่ย (Root Mean Square), RMS พร้อมบันทึกรูปคลื่นสัญญาณการสั่นสะเทือนที่ได้ในอสซิลโลสโคป
- 3.4.1.6 ปรับความเร็วรอบของมอเตอร์ให้มากขึ้นและทดลองตามขั้นตอนที่ 3.4.1.4 จนถึงขั้นตอนที่ 3.4.1.5 จนถึงความถี่ประมาณ 8 Hz



รูป 3.19 การจัดอุปกรณ์ที่ใช้ในการทดลอง

### 3.4.2 การทดลองการสั่นสะเทือนของมวลหลักบนแผ่นดานสปริงโดยมีตัวดูดซับ

- 3.4.2.1 ปรับความยาวของแผ่นดานรองรับตัวดูดซับให้ด้วยความถี่เท่ากับความถี่ที่ต้องการทดลองแล้วยึดติดกับชุดมวลหลัก
- 3.4.2.2 เริ่มปรับความเร็วรอบตั้งแต่ความเร็วรอบต่ำ ๆ
- 3.4.2.3 ใช้ออสซิลโลสโคปตรวจจับสัญญาณ 3 สัญญาณ อันได้แก่ สัญญาณความเร็วรอบซึ่งมีลักษณะเป็นสัญญาณพัลส์ สัญญาณจากสเตรนเกจที่ติดอยู่บนดานสปริงที่รองรับมวลหลัก (สเตรนเกจ 1) และสัญญาณจากสเตรนเกจจากคานที่รองรับตัวดูดซับการสั่นสะเทือน (สเตรนเกจ 2) บันทึกการกระจัดของการสั่นสะเทือนแบบกำลังสองเฉลี่ยพร้อมบันทึกรูปคลื่นสัญญาณคลื่นสัญญาณการสั่นสะเทือนที่ได้ในออสซิลโลสโคป
- 3.4.2.4 ปรับความเร็วรอบของมอเตอร์ให้มากขึ้นและทำขั้นตอนตั้งแต่ขั้นตอนที่ 3.4.2.2 ถึงขั้นตอนที่ 3.4.2.3 ความถี่ของการสั่นสะเทือนถึงประมาณ 8 Hz

การทดลองการสั่นสะเทือนที่ความถี่ 11 Hz ใช้ขั้นตอนและวิธีการเข่นเดียวกับวิธีในข้อ 3.4.1 และ 3.4.2 แต่ใช้ความถี่ในช่วงตั้งแต่ความถี่น้อย ๆ ถึงความถี่ 13 Hz

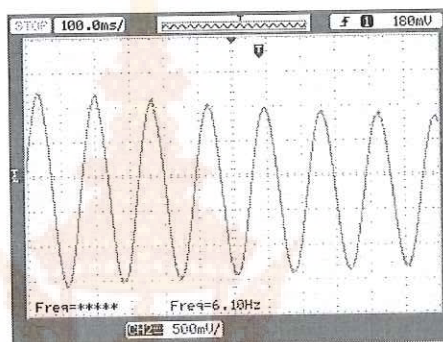
## บทที่ 4

ในบทนี้จะกล่าวถึงผลการทดลองที่ได้จากหัวข้อ 3.4 ซึ่งสามารถแบ่งออกได้เป็นการทดลองการลดการสั่นสะเทือนที่ความถี่ 6 Hz และ 11 Hz ซึ่งมีรายละเอียดดังนี้

### 4.1 ผลการทดลองลดการสั่นสะเทือนที่ความถี่ 6 Hz

#### 4.1.1 ผลการทดลองหาความถี่ธรรมชาติของระบบมวลหลัก

ผลการทดลองหาความถี่ธรรมชาติของระบบมวลหลักด้วยวิธีการเคาะและวัดสัญญาณจากสเตรนเกจที่ติดอยู่บนคานสปริงรองรับมวลหลัก (สเตรนเกจ 1) พบร่วมกับสัญญาณที่ได้จากการทดลองมีลักษณะดังแสดงในรูป 4.1

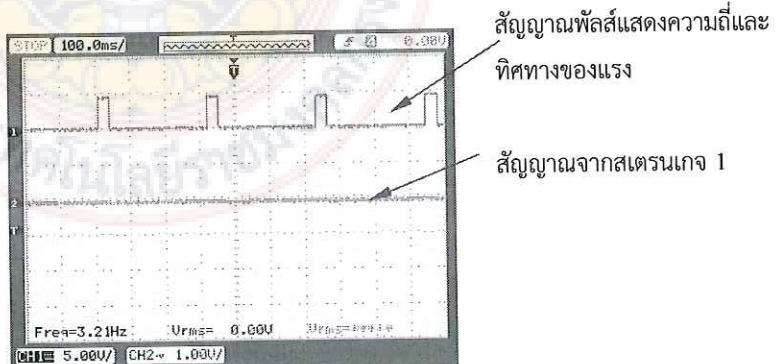


รูป 4.1 สัญญาณความถี่ธรรมชาติที่ได้จากระบบมวลหลัก (ความถี่ที่ทดลองลดการสั่น 6 Hz)

#### 4.1.2 ผลการทดลองการวัดสัญญาณและการสั่นสะเทือนโดยไม่ใช้ตัวดูดซับการสั่นสะเทือน

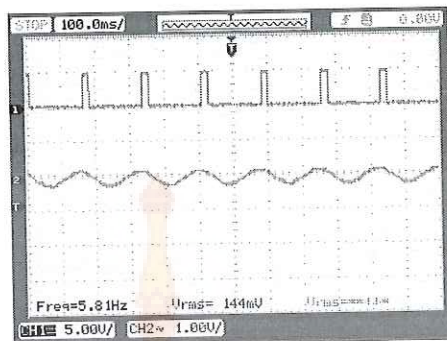
สัญญาณการสั่นสะเทือนและการกระจัดที่วัดได้จากสเตรนเกจ 1 และเครื่องวัดการสั่นสะเทือนที่ความถี่ต่าง ๆ สามารถแสดงได้ดังนี้

ที่ความถี่ 3.21 Hz พบร่วมกับสัญญาณการสั่นสะเทือนที่วัดได้มีลักษณะดังแสดงในรูป 4.2



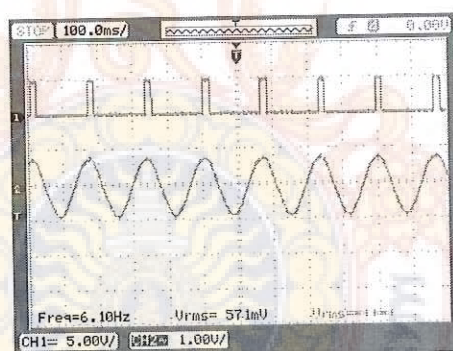
รูป 4.2 สัญญาณที่ความถี่ 3.21 Hz (ความถี่ที่ทดลองลดการสั่น 6 Hz)

เมื่อเพิ่มความถี่ของการสั่นสะเทือนขึ้นไปจนถึง 5.81 Hz พบว่าสัญญาณที่ได้จากสเตรนเกจ 1 มีสัญญาณโวลต์เตจ (Voltage) เกิดขึ้นมีความถี่และทิศทางเดียวกันกับแรง (ทิศทางเดียวกับสัญญาณพัลส์) ดังแสดงในรูป 4.3



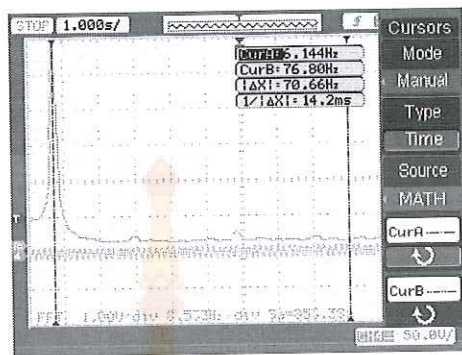
รูป 4.3 สัญญาณที่ความถี่ 5.81 Hz (ความถี่ที่ทดลองลดการสั่น 6 Hz)

เมื่อเพิ่มความถี่ของการสั่นสะเทือนถึงความถี่ 6.1 Hz ซึ่งตรงกับความถี่ธรรมชาติของระบบมวลหลัก สัญญาณที่ได้จากการวัดสามารถแสดงได้ดังรูป 4.4



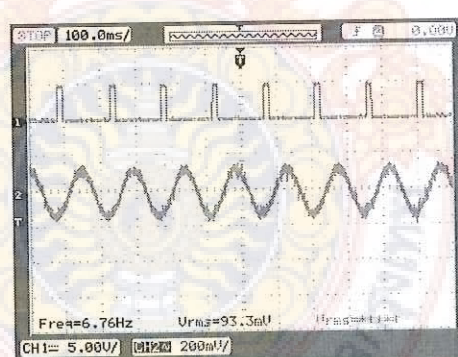
รูป 4.4 สัญญาณที่ความถี่ 6.10 Hz (ความถี่ที่ทดลองลดการสั่น 6 Hz)

จากรูป 4.4 จะเห็นได้ว่าสัญญาณที่ได้จากสเตรนเกจ 1 มีเอนปลิจูดที่สูงขึ้นทั้งนี้เป็นผลมาจากการสั่นพ้องเนื่องจากความถี่ของแรงที่กระทำให้กับความถี่ธรรมชาติของระบบจึงเกิดการกระจัดของการสั่นสะเทือนที่สูงโดยสามารถวัดการกระจัดแบบรากกำลังสองเฉลี่ย (RMS) ได้เท่ากับ 6.4 mm ทำการสั่นสะเทือนที่ 6.10 Hz สัญญาณสเปกตรัม (Spectrum) ความถี่ที่ได้จากการใช้ (Fast Fourier transform) FFT ของคานสปริงที่รองรับมวลหลักสามารถแสดงได้ดังรูป 4.5



รูป 4.5 สเปกตรัมความถี่ของการสั่นสะเทือนที่ 6.1 Hz (ไม่ใช้ตัวคุณภาพการสั่นสะเทือน)

เมื่อเพิ่มความถี่ของการสั่นสะเทือนขึ้นจนถึง  $6.76 \text{ Hz}$  ซึ่งมากกว่าความถี่ธรรมชาติของระบบมวลหลัก ( $\omega > \omega_n$ ) สัญญาณจากสเตรนเกจ .1 มีพิษทางตรงข้ามกับแรง (พิษทางตรงข้ามกับสัญญาณพัลส์) ดังสามารถแสดงได้ดังรูป 4.6 โดยสามารถวัดการกระจัดได้เท่ากับ  $1.08 \text{ mm}$

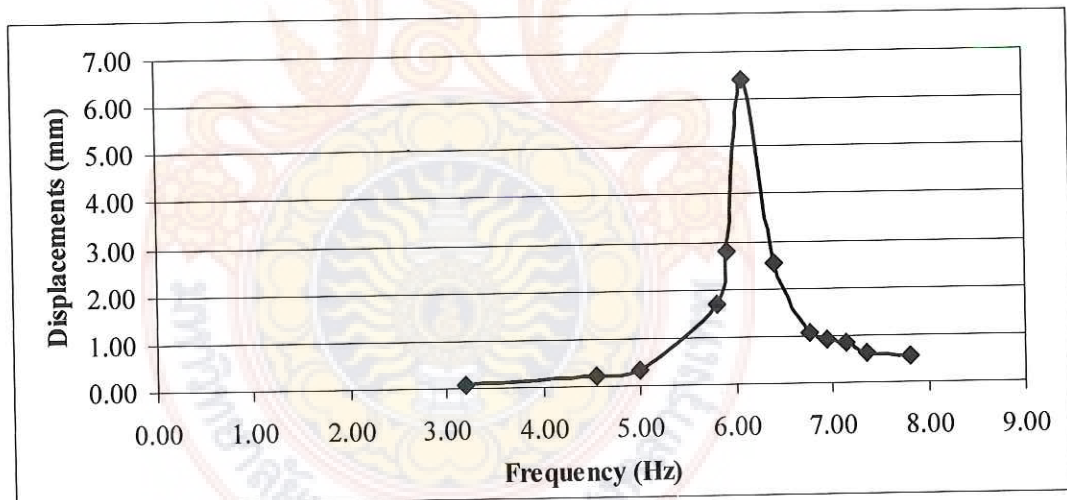


รูป 4.6 สัญญาณที่ความถี่ของการสั่นสะเทือน  $6.76 \text{ Hz}$  (ความถี่ที่ทดลองลดการสั่น  $6 \text{ Hz}$ )

สำหรับความสัมพันธ์ระหว่างการกระจัดที่ความถี่ต่าง ๆ ของการสั่นสะเทือนสามารถแสดงได้ดังตาราง 4.1 และแสดงได้ดังกราฟรูป 4.7

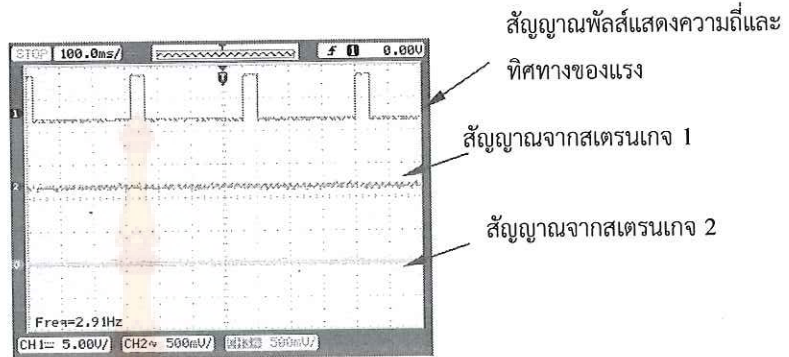
ตาราง 4.1 ผลการทดลองวัดการสั่นสะเทือนที่เกิดขึ้นที่ความถี่ต่าง ๆ โดยไม่ใช้ตัวคูดซับการสั่นสะเทือน  
(ความถี่ที่ทดลองการลดการสั่น 6Hz)

Frequency (Hz)	Displacements(mm),RMS
3.20	0.07
4.55	0.21
5.00	0.35
5.81	1.7
5.91	2.8
6.10	6.4
6.41	2.5
6.76	1.1
6.94	0.92
7.14	0.83
7.35	0.63
7.81	0.57



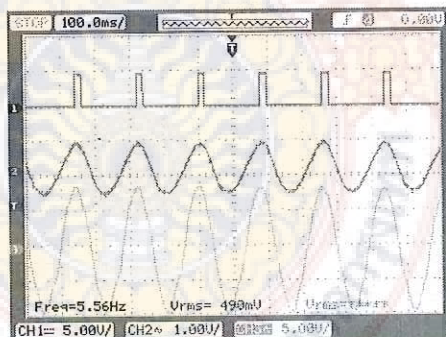
รูป 4.7 กราฟแสดงการกระจายของการสั่นสะเทือนโดยไม่ใช้ตัวคูดซับการสั่นสะเทือน (ความถี่ที่ทดลองลดการสั่น 6 Hz)

**4.1.3 ผลการทดลองการวัดสัญญาณและการสั่นสะเทือนโดยใช้ตัวดูดซับการสั่นสะเทือน**  
 ผลการทดลองวัดการสั่นสะเทือนโดยค่ายๆ เพิ่มความถี่ของการสั่นสะเทือนน้อยๆ สามารถแสดงได้  
 ดังรูป 4.8



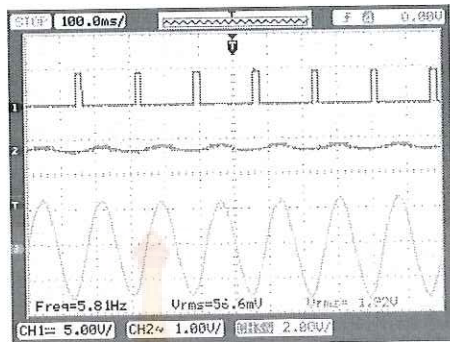
รูป 4.8 สัญญาณที่ความถี่ 2.91 Hz (ความถี่ที่ทดลองลดการสั่น 6 Hz ใช้ตัวดูดซับการสั่นสะเทือน)

เมื่อเพิ่มความถี่ของการสั่นสะเทือนขึ้นถึง 5.56 Hz พบว่าเกิดการสั่นสะเทือนสูงทั้งคานของระบบ  
 มวลหลักและตัวดูดซับดังแสดงในรูป 4.9 โดยสามารถวัดการสั่นสะเทือนได้เท่ากับ 5.1 mm จากรูปดังกล่าว  
 จะเห็นได้ว่าสัญญาณจากสเตรนเกจ 1 และ สเตรนเกจ 2 มีแอมป์ลิจูดสูงขึ้นอกจากนี้ยังพบว่าสัญญาณทั้ง  
 สองมีทิศทางเดียวกันกับสัญญาณพัลส์หรือมีทิศทางเดียวกันกับแรง



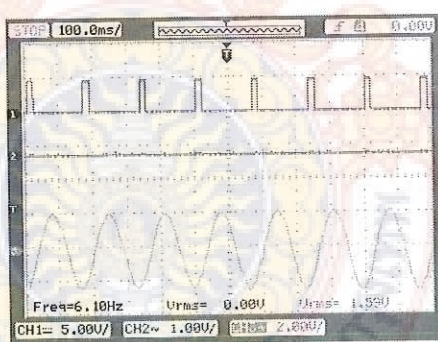
รูป 4.9 สัญญาณที่ความถี่ 5.56 Hz (ความถี่ที่ทดลองลดการสั่น 6 Hz ใช้ตัวดูดซับการสั่นสะเทือน)

เมื่อเพิ่มความถี่ของการสั่นสะเทือนจนถึง 5.81 Hz พบร่วมกับสัญญาณจากสเตรนเกจ 1 และสเตรนเกจ 2 มีขนาดลดลงอย่างชัดเจนโดยเฉพาะสเตรนเกจ 1 ดังแสดงในรูป 4.10 ซึ่งจากรูปจะเห็นได้ว่า

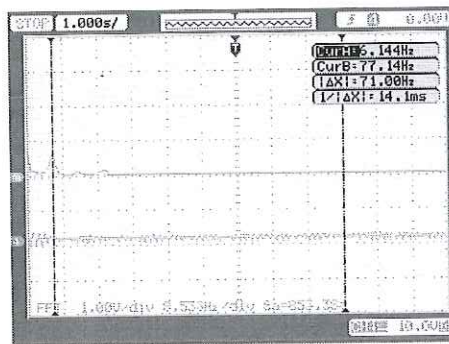


รูป 4.10 สัญญาณที่ความถี่ 5.81 Hz (ความถี่ที่ทดลองลดการสั่น 6 Hz ใช้ตัวคูดซับการสั่นสะเทือน)  
สัญญาณที่ส่องมีการเคลื่อนที่ตรงกันข้ามกับแรง หรือเฟสตรงข้ามกับแรง

เมื่อเพิ่มความถี่ของการสั่นสะเทือนจนถึง 6.10 Hz ซึ่งเท่ากับความถี่ธรรมชาติของระบบมวลหลัก  $\omega \approx \omega_n$  จะพบว่าสัญญาณจากสเตรนเกจ 1 มีแอมป์ลิจูดลดลงจนเกือบท่ากับศูนย์ดังแสดงในรูป 4.11 ซึ่งหมายถึงการสั่นสะเทือนที่ลดลงอย่างชัดเจนโดยสามารถวัดการสั่นสะเทือนได้เท่ากับ 0.05 mm ในขณะที่สัญญาณที่ได้จากการตัวคูดซับการสั่นสะเทือนยังคงมีแอมป์ลิจูดสูงอยู่โดยมีทิศทางตรงกันข้ามกับทิศของแรงสเปกตรัมความถี่สามารถแสดงดังรูป 4.12

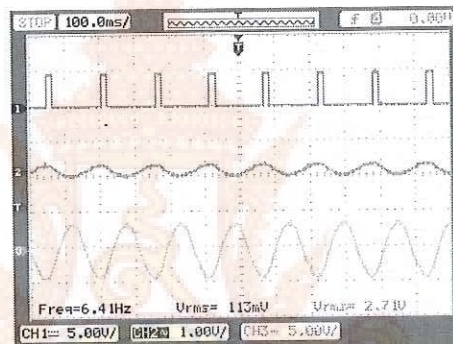


รูป 4.11 สัญญาณที่ความถี่ 6.10 Hz (ความถี่ที่ทดลองลดการสั่น 6 Hz ใช้ตัวคูดซับการสั่นสะเทือน)



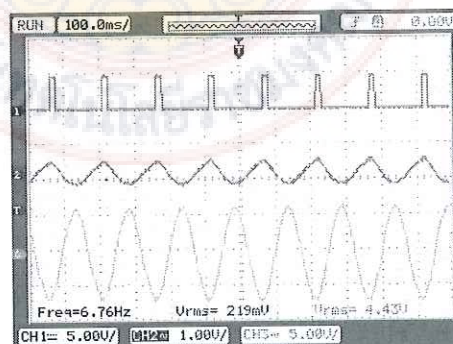
รูป 4.12 สเปกตรัมความถี่ของการสั่นสะเทือนที่ 6.10 Hz (ใช้ตัวดูดซับการสั่นสะเทือน)

เมื่อเพิ่มความถี่ของการสั่นสะเทือนขึ้นจนถึง 6.41 Hz สัญญาณจากสเตรนเกจ 1 กลับมีแอมปลิจูดเพิ่มสูงขึ้นอีกดังแสดงในรูป 4.13 ซึ่งจากรูปจะเห็นได้ว่าสัญญาณจากสเตรนเกจ 1 มีทิศทางเดียวกันกับแรงส่วนสเตรนเกจ 2 กลับมีทิศทางตรงกันข้ามกับแรง



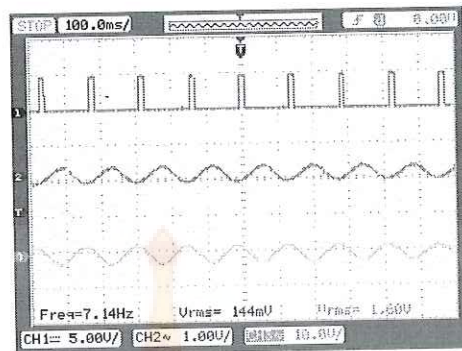
รูป 4.13 สัญญาณที่ความถี่ 6.41 Hz (ความถี่ที่ทดลองลดการสั่น 6 Hz ใช้ตัวดูดซับการสั่นสะเทือน)

เมื่อเพิ่มความถี่ของการสั่นสะเทือนถึง 6.76 Hz พบว่าสัญญาณทั้งสเตรนเกจ 1 และสเตรนเกจ 2 เพิ่มสูงขึ้นมากอีครั้งหนึ่งดังแสดงในรูป 4.14 โดยสัญญาณจากสเตรนเกจ 1 มีทิศทางเดียวกันกับทิศของแรง และสัญญาณจากสเตรนเกจ 2 มีทิศตรงกันข้ามกับแรง



รูป 4.14 สัญญาณที่ความถี่ 6.76 Hz (ความถี่ที่ทดลองลดการสั่น 6 Hz ใช้ตัวดูดซับการสั่นสะเทือน)

เมื่อเพิ่มความถี่ของการสั่นสะเทือนขึ้นถึง 7.14 Hz พบร่วงสัญญาณที่ได้จากการสั่นสะเทือน 1 มีทิศทางตรงข้ามกับแรง แต่สัญญาณที่ได้จากการสั่นสะเทือน 2 กลับมีทิศทางเดียวกันกับแรงดังแสดงในรูป 4.15

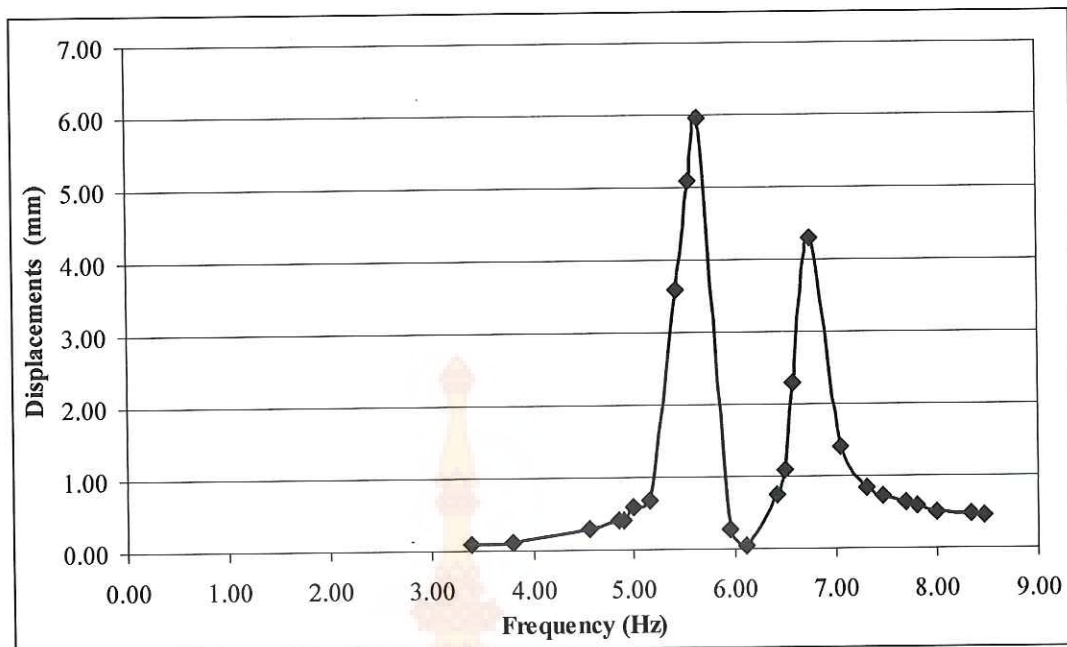


รูป 4.15 สัญญาณที่ความถี่ 7.14 Hz (ความถี่ที่ทดลองลดการสั่น 6 Hz ใช้ตัวคูดซับการสั่นสะเทือน)

สำหรับการจัดการสั่นสะเทือนที่เกิดขึ้นที่ความถี่ต่างๆ สามารถแสดงได้ดังตาราง 4.2 และกราฟรูป 4.16

ตาราง 4.2 ผลการทดลองวัดการสั่นสะเทือนที่เกิดขึ้นที่ความถี่ต่าง ๆ โดยใช้ตัวคุณภาพการสั่นสะเทือน  
(ความถี่ที่ทดลองลดการสั่น 6 Hz)

Frequency (Hz)	Displacements(mm),RMS
3.40	0.09
3.79	0.12
4.55	0.29
4.85	0.41
4.90	0.40
5.00	0.58
5.15	0.68
5.43	3.6
5.56	5.1
5.65	5.9
5.95	0.28
6.10	0.05
6.41	0.75
6.49	1.1
6.58	2.3
6.76	4.3
7.04	1.4
7.31	0.83
7.46	0.73
7.69	0.64
7.81	0.59
8.00	0.51
8.33	0.47
8.47	0.46



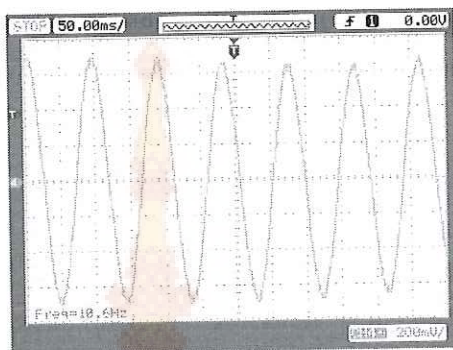
รูป 4.16 กราฟแสดงการกระจัดของการสั่นสะเทือนโดยใช้ตัวคูดซับการสั่นสะเทือน (ความถี่ที่ทดสอบลดการสั่น 6 Hz)

## 4.2 ผลการทดลองลดการสั่นสะเทือนที่ความถี่ 11 Hz

### 4.2.1 ผลการทดลองหาความถี่ธรรมชาติของระบบมวลหลัก

ผลการทดลองหาความถี่ธรรมชาติของระบบด้วยวิธีการเคาะและวัดสัญญาณจากเครื่องวัดการสั่นสะเทือนที่ติดอยู่บนคานสปริงรองรับมวลหลักพบว่าสัญญาณที่ได้จากการทดลองมีลักษณะดังแสดงใน

รูป 4.17



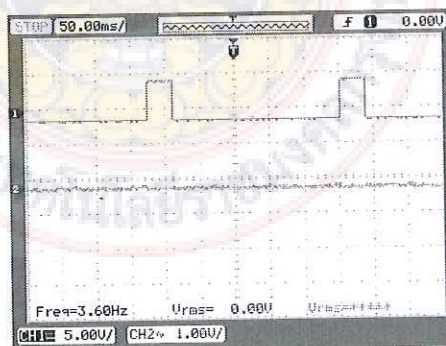
รูป 4.17 สัญญาณความถี่ธรรมชาติที่ได้จากระบบมวลหลัก (ความถี่ที่ทดลองลดการสั่น 11 Hz)

จากรูป 4.17 จะเห็นได้ว่าสัญญาณที่ได้มีความถี่ 10.6 Hz ซึ่งหมายถึงความถี่ธรรมชาติของระบบมวลหลักที่ได้จากการทดลอง

### 4.2.2 ผลการทดลองการวัดสัญญาณและการสั่นสะเทือนโดยไม่ใช้ตัวดูดซับการสั่นสะเทือน

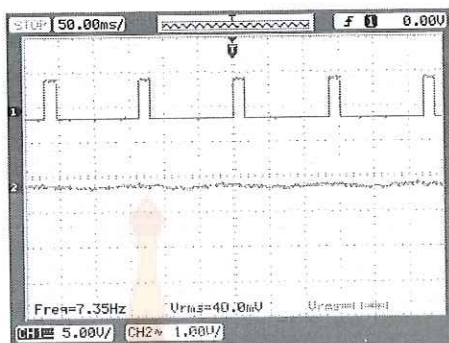
สัญญาณการสั่นสะเทือนที่ได้จากการทดลองนี้ได้มาจากสเตอร์นเกจ 1 และการกระจัดที่วัดได้เครื่องวัดการสั่นสะเทือนที่ความถี่ต่างๆ สามารถแสดงได้ดังนี้

ที่ความถี่ 3.60 Hz สัญญาณที่ได้จากสเตอร์นเกจ 1 และวงจรวัดความเร็วตอบสนองแสดงได้ดังรูป 4.18



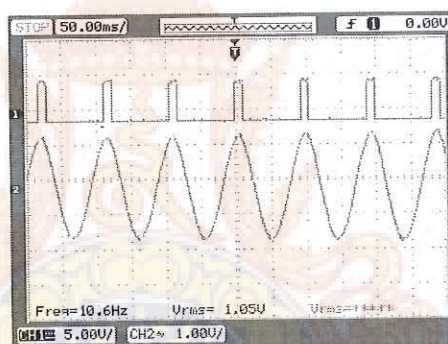
รูป 4.18 สัญญาณที่ความถี่ 3.60 Hz (ความถี่ที่ทดลองลดการสั่น 11 Hz)

เมื่อเพิ่มความถี่ของการสั่นสะเทือนเท่ากับ 7.35 Hz พบร่วงสัญญาณจากสเตรนเกจ 1 มีสัญญาณโวลต์เตจเล็กน้อยแสดงในรูป 4.19



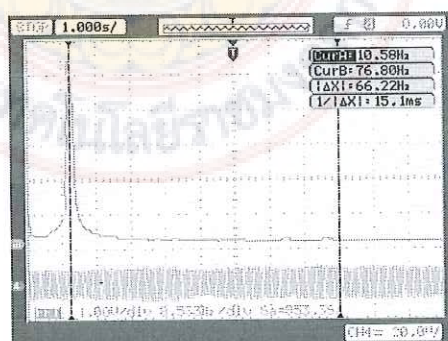
รูป 4.19 สัญญาณที่ความถี่ 7.35 Hz (ความถี่ที่ทดลองลดการสั่น 11 Hz)

เมื่อเพิ่มความถี่ของการสั่นสะเทือนไปที่ความถี่ 10.6 Hz ซึ่งเป็นความถี่ที่ตรงกับความถี่ธรรมชาติ ( $\omega \approx \omega_n$ ) ของระบบมวลหลักพบว่าเกิดการสั่นสะเทือนในแแม่ปลิจูดที่สูงดังแสดงในรูป 4.20



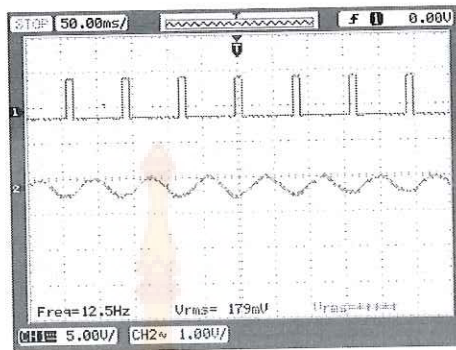
รูป 4.20 สัญญาณที่ความถี่ 10.6 Hz (ความถี่ที่ทดลองลดการสั่น 11 Hz)

สำหรับความถี่ของการสั่นสะเทือน 10.6 Hz สเปกตรัมความถี่สามารถแสดงได้ดังรูป 4.21



รูป 4.21 สเปกตรัมความถี่ของการสั่นสะเทือนที่ 10.6 Hz (ไม่ใช้ตัวดูดซับการสั่นสะเทือน)

เมื่อเพิ่มความเร็วของมอเตอร์ไปถึงความถี่ที่ 12.5 Hz ซึ่งมากกว่าความถี่ธรรมชาติของระบบ ( $\omega > \omega_n$ ) พบว่าการสั่นสะเทือนที่เกิดขึ้นกับมวลหลักมีค่าลดลงดังแสดงในรูป 4.22 โดยสัญญาณที่ได้จากสเตอร์นเกจ 1 มีพิษทางตรงกันข้ามกับพิษของแรง

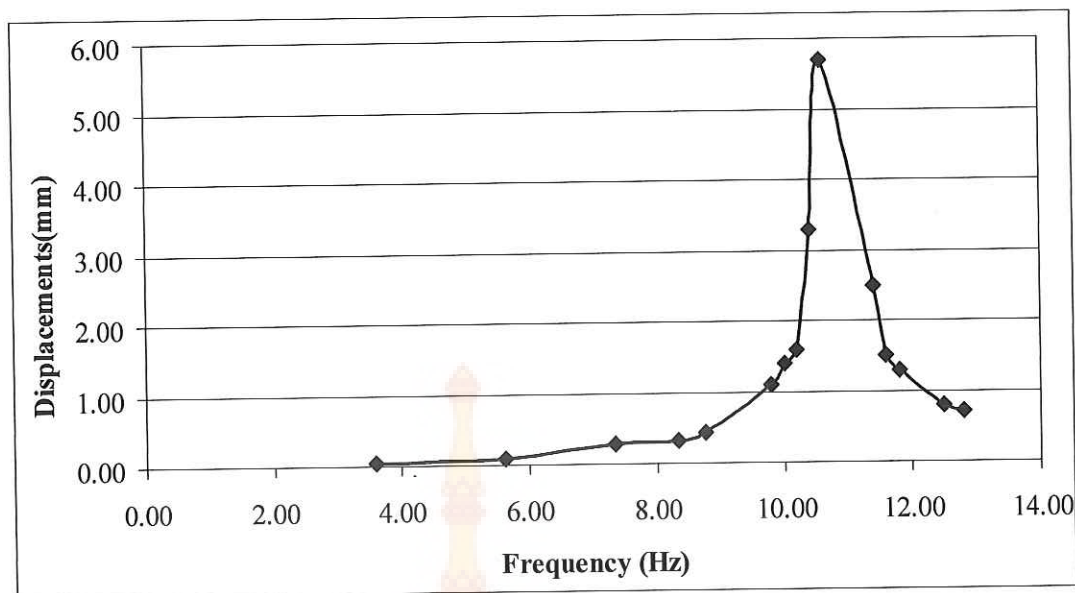


รูป 4.22 สัญญาณที่ความถี่ 12.5 Hz (ความถี่ที่ทดลองลดการสั่น 11 Hz)

สำหรับการประจำจดของการสั่นสะเทือนที่เกิดขึ้นที่ความถี่ต่างๆ สามารถแสดงได้ดังตาราง 4.3 ผลการทดลองวัดการสั่นสะเทือนที่เกิดขึ้นที่ความถี่ต่างๆ โดยไม่ใช้ตัวคูดซับการสั่นสะเทือน (ความถี่ที่ทดลองลดการสั่น 11 Hz)

Frequency (Hz)	Displacements(mm),RMS
3.60	0.037
5.52	0.083
7.35	0.27
8.33	0.33
8.77	0.42
9.8	1.1
10.0	1.4
10.2	1.6
10.4	3.3
10.6	5.7
11.4	2.5
11.6	1.5
11.8	1.3
12.5	0.80
12.8	0.70

จากผลการทดลองที่ได้ในตารางที่ 4.3 สามารถแสดงในกราฟรูป 4.23



รูป 4.23 กราฟแสดงการกระจัดของการสั่นสะเทือนโดยไม่ใช้ตัวคูดซับการสั่นสะเทือน (ความถี่ที่ทดลองลดการสั่น 11 Hz)

#### 4.2.3 ผลการทดลองการวัดสัญญาณและการสั่นสะเทือนโดยใช้ตัวคูดซับการสั่นสะเทือน (ความถี่ที่ทดลองการลดการสั่น 11 Hz)

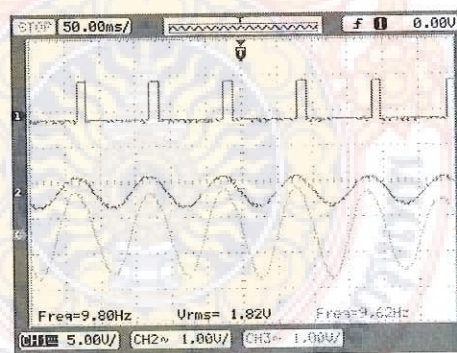
สัญญาณการสั่นสะเทือนและการรบกวนจะได้เงินเดียวกับการทดลองลดการสั่นที่ความถี่ 6 Hz ซึ่งผลการทดลองสามารถแสดงได้ดังนี้

เมื่อความถี่เท่ากับ 4.3 Hz สัญญาณพัลส์ สัญญาณจากสเตรนเกจ 1 สัญญาณจากสเตรนเกจ 2 สามารถแสดงได้ดังรูป 4.24 ซึ่งจากรูปจะเห็นได้ว่าสัญญาณจากสเตรนเกจ 2 มีสัญญาณเกิดขึ้นเพียงเล็กน้อยเท่านั้น



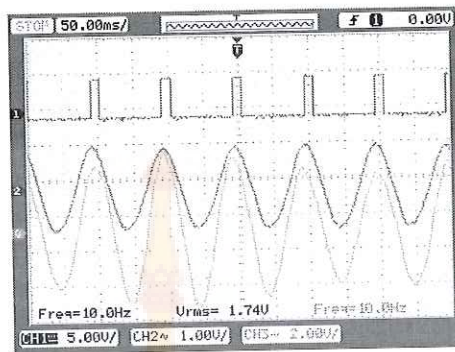
รูป 4.24 สัญญาณที่ความถี่ 4.31 Hz (ความถี่ที่ทดลองลดการสั่น 11 Hz ใช้ตัวคูดซับการสั่นสะเทือน)

เมื่อปรับความเร็วของมอเตอร์เพิ่มขึ้นถึงความถี่ 9.80 Hz พบว่าสัญญาณการเคลื่อนที่จากสเตรนเกจ 1 และสเตรนเกจ 2 สามารถแสดงได้ดังรูป 4.25



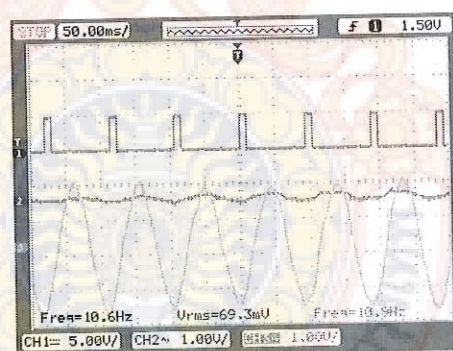
รูป 4.25 สัญญาณที่ความถี่ 9.80 Hz (ความถี่ที่ทดลองลดการสั่น 11 Hz ใช้ตัวคูดซับการสั่นสะเทือน)

เมื่อปรับความเร็วของมอเตอร์เพิ่มขึ้นถึงความถี่เท่ากับ 10.0 Hz พบร่วมสัญญาณที่ได้จากสเตรนเกจทั้งสองมีค่าเพิ่มมากขึ้นโดยสัญญาณทั้งสองมีการเคลื่อนที่ในทิศทางเดียวกัน หรือมีเฟสตามกันและมีทิศทางเดียวกันกับแรงดึงแสดงในรูป 4.26



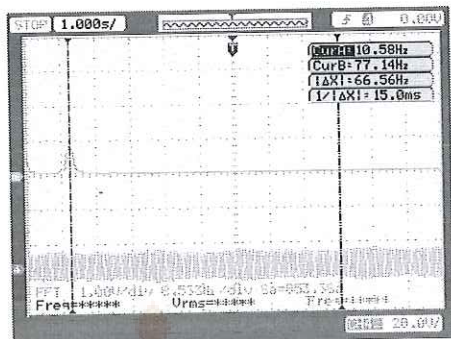
รูป 4.26 สัญญาณที่ความถี่ 10.0 Hz (ความถี่ที่ทดลองลดการสั่น 11 Hz ใช้ตัวดูดซับการสั่นสะเทือน)

เมื่อเพิ่มความเร็วรอบของมอเตอร์เพื่อให้เกิดการสั่นที่ความถี่ 10.6 Hz พบร่วมสัญญาณที่ได้จากสเตรนเกจทั้งสองสามารถแสดงได้ดังรูป 4.27



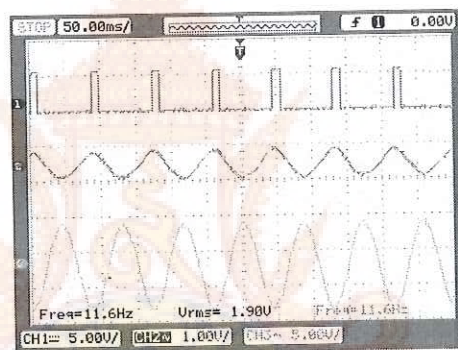
รูป 4.27 สัญญาณที่ความถี่ 10.6 Hz (ความถี่ที่ทดลองลดการสั่น 11 Hz ใช้ตัวดูดซับการสั่นสะเทือน)

สำหรับความถี่ของการสั่นสะเทือน 10.6 Hz สเปกตรัมความถี่ที่ได้จากการใช้ (Fast Fourier transform) FFT สามารถแสดงได้ดังรูป 4.28



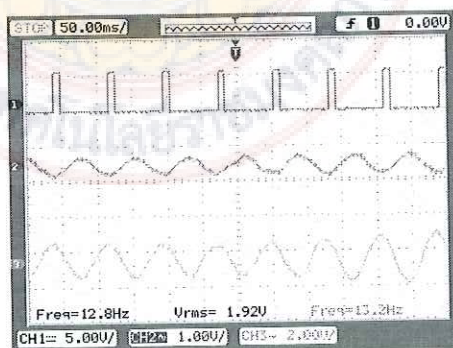
รูป 4.28 สเปกตรัมความถี่ของการสั่นสะเทือนที่ 10.6 Hz (ใช้ตัวคูดซับการสั่นสะเทือน)

จากรูปจะเห็นได้ว่าสัญญาณที่ได้จากการสปิงที่รองรับมวลหลักมีค่าน้อยลงทั้งนี้เป็นผลมาจากการตัดซับที่ตัดซับการสั่นสะเทือนไปจากระบบมวลหลัก และเมื่อเพิ่มความเร็วรอบของเตอร์ให้มากขึ้นจนถึงความถี่ 11.6 Hz สัญญาณที่ได้จากการสตีเรนเกจที่รองรับมวลหลักมีค่าสูงขึ้นอีกดังแสดงในรูป 4.29



รูป 4.29 สัญญาณที่ความถี่ 11.6 Hz (ความถี่ที่ทดลองลดการสั่น 11 Hz ใช้ตัวคูดซับการสั่นสะเทือน)

เมื่อเพิ่มความเร็วรอบของมอเตอร์ให้สูงขึ้นจนถึงความถี่เท่ากับ 12.8 Hz สัญญาณที่ได้จากการสตีเรนเกจที่ทดสอบสามารถแสดงได้ดังรูป 4.30

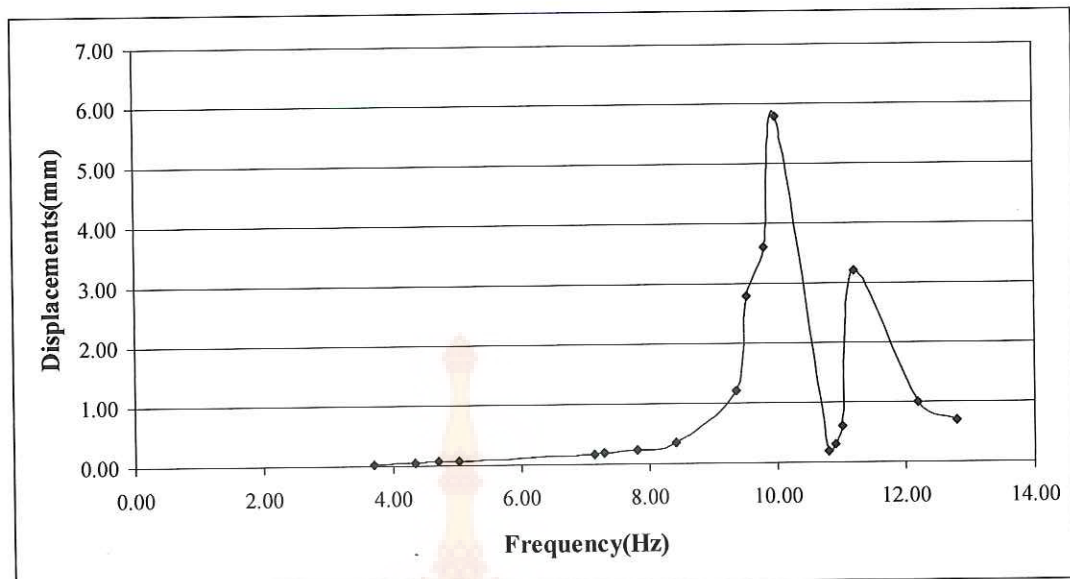


รูป 4.30 สัญญาณที่ความถี่ 12.8 Hz (ความถี่ที่ทดลองลดการสั่น 11 Hz ใช้ตัวคูดซับการสั่นสะเทือน)

สำหรับการกระจัดของการสั่นสะเทือนที่เกิดขึ้นที่ความถี่ต่างๆ สามารถแสดงได้ดังตาราง 4.4 และแสดงในรูปกราฟดังรูป 4.31

ตาราง 4.4 ผลการทดลองวัดการสั่นสะเทือนที่เกิดขึ้นที่ความถี่ต่าง ๆ โดยใช้ตัวคูณซับการสั่นสะเทือน (ความถี่ที่ทดลองการลดการสั่น 11 Hz)

Frequency (Hz)	Displacements (mm),RMS
3.70	0.030
4.35	0.051
4.72	0.063
5.03	0.075
7.14	0.17
7.30	0.19
7.81	0.24
8.40	0.34
9.35	1.2
9.65	2.8
9.80	3.6
10.0	5.8
10.6	0.16
10.8	0.18
10.9	0.30
11.0	0.62
11.2	3.2
12.2	1.00
12.8	0.71



รูป 4.31 กราฟแสดงการกระจัดของการสั่นสะเทือนโดยใช้ตัวคูดซึบการสั่นสะเทือน (ความถี่ที่ทดลองคิด  
การสั่น 11 Hz)

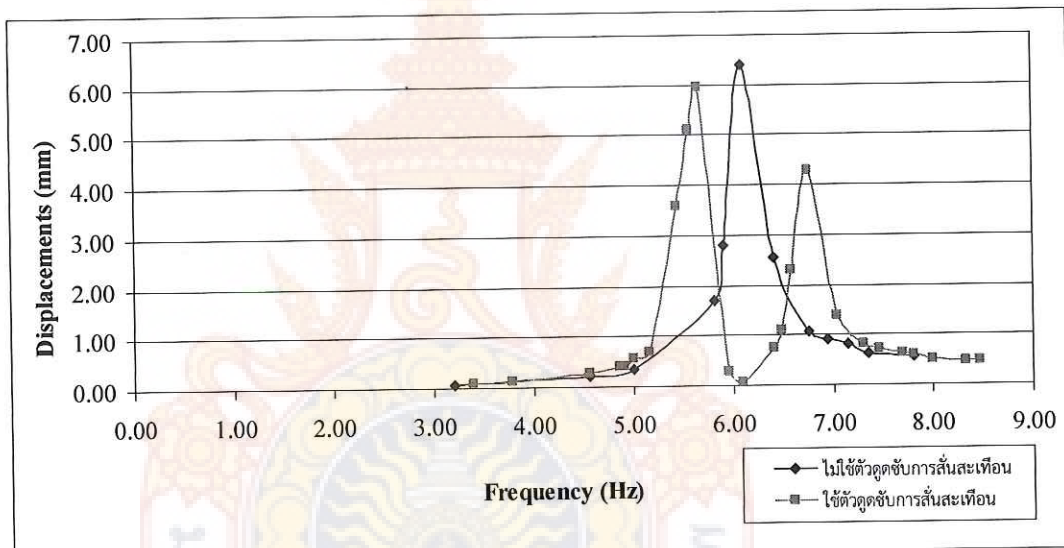
### 4.3 วิเคราะห์ผลการทดลอง

#### 4.3.1 วิเคราะห์การหาความถี่ธรรมชาติของระบบมวลหลักโดยวิธีการเคาะ

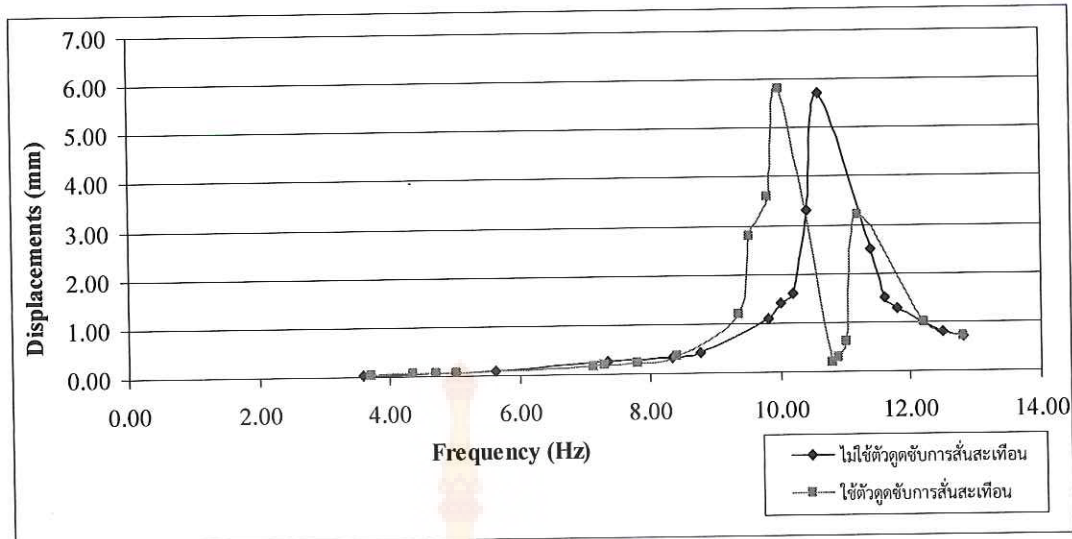
จากรูป 4.1 จะเห็นได้ว่าความถี่ธรรมชาติที่ได้จากการทดลองมีค่าเท่ากับ 6.10 Hz ในขณะที่ความถี่ธรรมชาติจากการคำนวณมีค่าเท่ากับ 6.3 Hz ในทำนองเดียวกันการทดลองลดการสั่นสะเทือนที่ 11 Hz สามารถหาความถี่ธรรมชาติจากการทดลองได้ดังแสดงในรูป 4.17 วัดความถี่ได้ 10.6 Hz ซึ่งน้อยกว่าค่าที่ได้จากการคำนวณทั้งนี้เนื่องจากในการทดลองระบบมวลหลักนั้นมีความหน่วงเกิดขึ้นเสมอซึ่งความหน่วงนี้อาจทำให้ความถี่ธรรมชาติที่ได้จากการทดลองมีค่าน้อยกว่าที่คำนวณทางทฤษฎี

#### 4.3.2 วิเคราะห์การลดการสั่นสะเทือน

จากผลการทดลองลดการสั่นสะเทือนที่ความ 6 Hz และ 11 Hz พบร้าสามารถลดการสั่นสะเทือนได้มากโดยสามารถเปรียบเทียบได้ดังกราฟรูป 4.32 และ รูป 4.33 ตามลำดับ

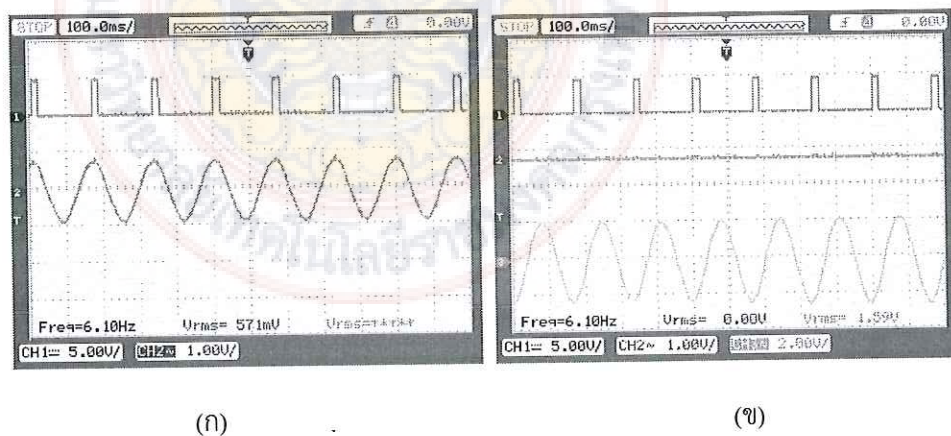


รูป 4.32 กราฟแสดงการเปรียบเทียบการลดการสั่นสะเทือนที่ความถี่ 6 Hz



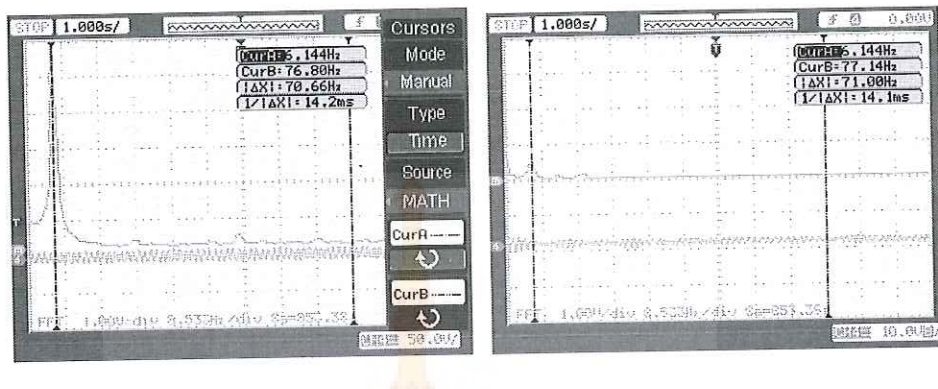
รูป 4.33 กราฟแสดงการเปรียบเทียบการลดการสั่นสะเทือนที่ความถี่ 11 Hz

จากราฟรูป 4.32 จะเห็นได้ว่าที่ความถี่ 6.10 Hz ซึ่งเป็นความถี่ที่ต้องการลดการสั่นสะเทือนพบว่าสามารถลดการสั่นสะเทือนลงได้อย่างชัดเจนโดยการสั่นสะเทือนที่ความถี่ดังกล่าวเมื่อไม่ใช้ตัวคูณชับการสั่นสะเทือนวัดการกระจัดได้เท่ากับ 6.41 mm ในขณะที่การกระจัดเมื่อใช้ตัวคูณชับการสั่นสะเทือนวัดได้เพียง 0.05 mm เท่านั้น อย่างไรก็ตามจากราฟรูป 4.32 จะเห็นได้ว่าถึงแม้จะลดการสั่นสะเทือนได้ที่ความถี่ที่ต้องการแต่จะเกิดการสั่นสะเทือนที่สูงในช่วงก่อนและหลังความถี่ 6.10 Hz ซึ่งจากราฟจะเห็นได้ว่าเกิดการสั่นสะเทือนสูงที่ความถี่ 5.65 Hz และ 6.76 Hz ซึ่งสามารถวัดการกระจัดได้เท่ากับ 5.95 mm และ 4.3 mm ตามลำดับ ทั้งนี้เป็นผลมาจากการใช้ตัวคูณชับการสั่นสะเทือนเป็นการสั่นสะเทือนที่มีสองระดับขั้น ความเสี่ยทำให้มีความถี่ธรรมชาติสองค่าเข่นกัน และหากเปรียบเทียบสัญญาณการสั่นสะเทือนก่อนและหลังการใช้ตัวคูณชับการสั่นสะเทือนสามารถแสดงได้ดังรูป 4.34 (ก) และ (ข)



รูป 4.34 สัญญาณเปรียบเทียบ (ก) ไม่ใช้ตัวคูณชับการสั่นสะเทือน และ (ข) ใช้ตัวคูณชับการสั่นสะเทือน (ความถี่ที่ทดลองลดการสั่น 6 Hz)

หากเปรียบเทียบสัญญาณดังแสดงในรูป 4.35 (ก) และ (ข) จะเห็นได้ว่าก่อนใช้ตัวคูดซับการสั่นสะเทือนสเปกตรัมความถี่ที่ 6.1 Hz มีขนาดสูงอย่างชัดเจน แต่เมื่อใช้ตัวคูดซับการสั่นสะเทือนพบว่าสเปกตรัมความถี่ที่ 6.1 Hz มีขนาดลดลงอย่างเห็นได้ชัด

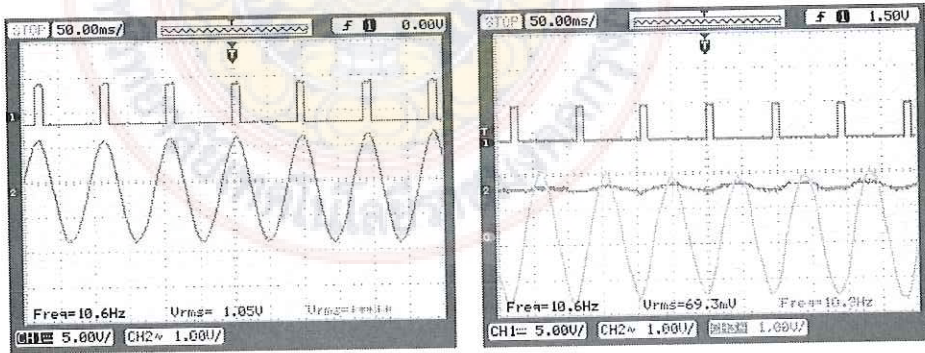


(ก)

(ข)

รูป 4.35 สเปกตรัมความถี่ (ก) ไม่ใช้ตัวคูดซับการสั่นสะเทือน และ (ข) ใช้ตัวคูดซับการสั่นสะเทือน (ความถี่ที่ทดลองลดการสั่น 6 Hz)

ในทำนองเดียวกันการทดลองลดการสั่นสะเทือนที่ความถี่ 10.6 Hz หากไม่ใช้ตัวคูดซับการสั่นสะเทือนพบว่าเกิดการสั่นสะเทือนเท่ากับ 5.7 mm ในขณะที่การกระจัดเมื่อใช้ตัวคูดซับการสั่นสะเทือน วัดได้เพียง 0.15 mm เท่านั้น นอกจากนี้รูป 4.33 ยังแสดงให้เห็นว่าเกิดการสั่นสะเทือนสูงในช่วงก่อนและหลังความถี่ 10.6 Hz เช่นเดียวกับการลดการสั่นสะเทือนที่ 6.1 Hz โดยจากการฟังจะเห็นได้ว่าที่ความถี่ 10.0 Hz วัดการกระจัดได้เท่ากับ 5.8 mm และเมื่อความถี่เพิ่มขึ้นถึง 11.2 Hz วัดการกระจัดได้เท่ากับ 3.2 mm หากเปรียบเทียบสัญญาณการสั่นสะเทือนก่อนและหลังการใช้ตัวคูดซับการสั่นสะเทือนสามารถแสดงได้ดังรูป 4.36 (ก) และ (ข) และสัญญาณสเปกตรัมความถี่ก่อนและหลังการใช้ตัวคูดซับการสั่นสะเทือนสามารถแสดงได้ดังรูป 4.37 (ก) และ (ข)



(ก)

(ข)

รูป 4.36 สัญญาณเปรียบเทียบ (ก) ไม่ใช้ตัวคูดซับการสั่นสะเทือน และ (ข) ใช้ตัวคูดซับการสั่นสะเทือน (ความถี่ที่ทดลองลดการสั่น 11 Hz)



รูป 4.37 สเปกตรัมความถี่ (ก) ไม่ใช้ตัวคูดซับการสั่นสะเทือน และ (ข) ใช้ตัวคูดซับการสั่นสะเทือน  
(ความถี่ที่ทดลองลดการสั่น 11 Hz)

#### 4.3.3 วิเคราะห์การเคลื่อนที่ของมวลหลักภายใต้แรง harmonic อนิกเมื่อไม่ใช้ตัวคูดซับการสั่นสะเทือน

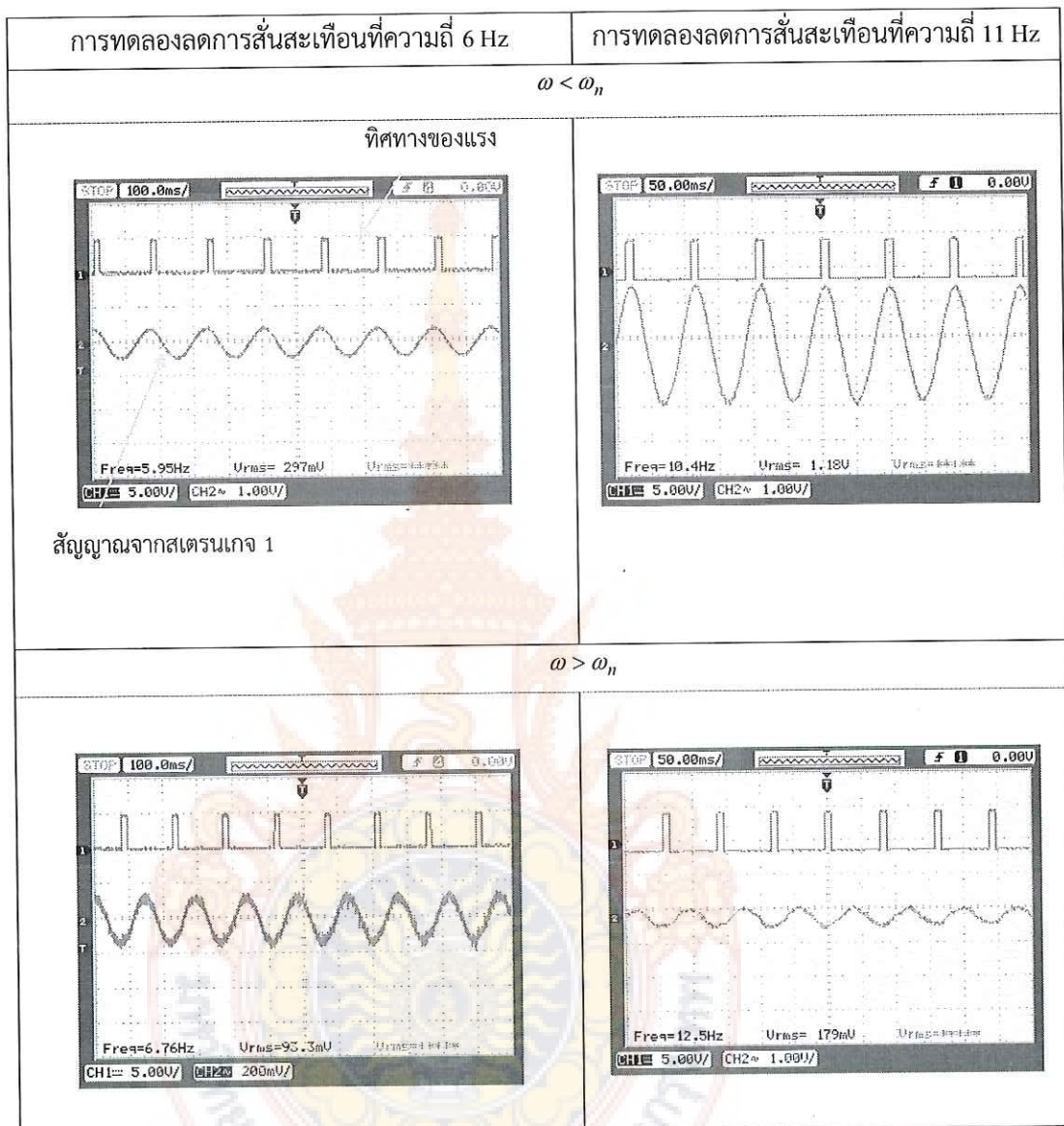
ในการทดลองลดการสั่นสะเทือนที่ความถี่ 6 Hz จะเห็นว่าเมื่อไม่ใช้ตัวคูดซับการสั่นสะเทือนการเคลื่อนที่ของมวลหลักมีทิศทางเดียวกันกับแรง (มีทิศทางเดียวกันกับสัญญาณพัลส์) แต่หากความถี่ของ การสั่นสะเทือนมากกว่าความถี่ธรรมชาติของระบบมวลหลัก (6.1 Hz) สัญญาณที่ได้จากสตีเรอนเจก 1 จะมีทิศทางตรงกันข้ามกับสัญญาณพัลส์ เช่นเดียวกันในการทดลองการลดการสั่นสะเทือนที่ความถี่ 11 Hz ผล การทดลองที่ได้เหมือนกับการทดลองที่ 6 Hz โดยรูปสัญญาณสามารถแสดงได้ดังตาราง 4.5 ทั้งนี้สามารถ อธิบายได้ดังนี้คือ

การสั่นสะเทือนแบบบังคับที่มีระดับขั้นความเร็วขึ้นเดียวยาวภายใต้แรง harmonic อนิกสามารถแสดงได้ดัง สมการ 4.1 ซึ่งจะเห็นได้ว่าหากความถี่ของการสั่นสะเทือนน้อยกว่าความถี่ธรรมชาติของระบบ ( $\omega < \omega_n$ ) แล้ว จะทำให้การกระจัดแรมปลิจูดของการกระจัด,  $X$  มีเครื่องหมายเป็นบวกสัญญาณจากสตีเรอนเจก 1 ซึ่งมีทิศทางเดียวกับสัญญาณพัลส์  $\left( \frac{\omega}{\omega_n} \right)$ .

$$\frac{X}{\delta_{sl}} = \frac{1}{1 - \left( \frac{\omega}{\omega_n} \right)^2} \quad (4.1)$$

ในทำนองเดียวกันหากความถี่มากกว่าความถี่ธรรมชาติ ( $\omega > \omega_n$ ) จะทำให้สมการ 4.1 มีค่าเป็น ลบซึ่งหมายถึงเคลื่อนที่ในทางตรงกันข้ามกับแรงนั้นเอง

ตาราง 4.5 สัญญาณที่ความถี่น้อยกว่าและมากกว่าความถี่ธรรมชาติของการสั่นโดยไม่ใช้ตัวดูดซับการสั่นสะเทือน



#### 4.3.4 วิเคราะห์การเคลื่อนที่ของมวลหลักและตัวคูดซับการสั่นสะเทือน

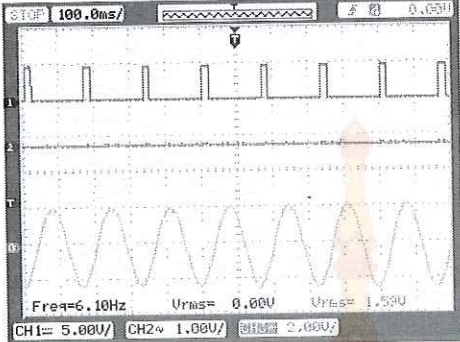
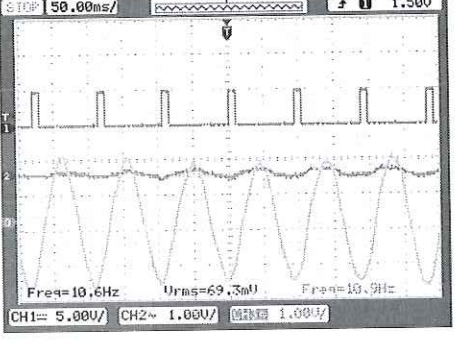
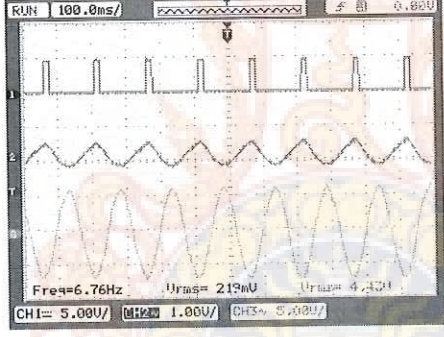
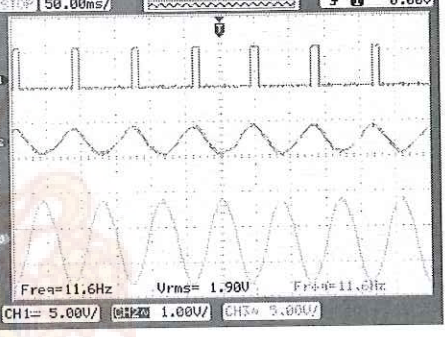
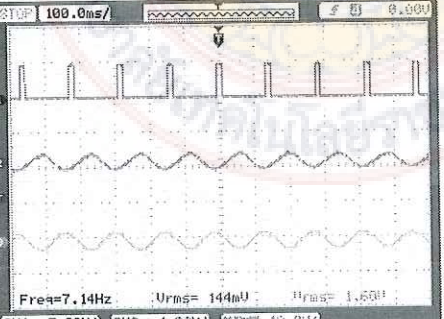
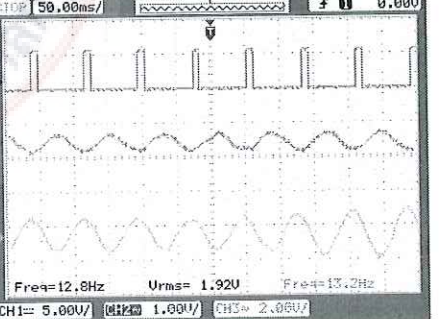
ดังที่ได้กล่าวมาข้างต้นถึงการลดการสั่นสะเทือนโดยใช้ตัวคูดซับการสั่นสะเทือนน้ำอาทัยหลักการของการสั่นสะเทือนที่มีสองระดับขั้นความเร็วซึ่งทำให้เกิดความถี่ธรรมชาติขึ้นอีกสองค่า คือ  $\Omega_1$  และ  $\Omega_2$  โดยความถี่ธรรมชาติค่าแรก ( $\Omega_1$ ) จะน้อยกว่าความถี่ธรรมชาติของระบบมวลหลัก ( $\omega_n$ ) และความถี่ธรรมชาติค่าที่สอง ( $\Omega_2$ ) จะมากกว่าความถี่ธรรมชาติ ดังนั้นจากการทดลองลดการสั่นสะเทือนที่ความถี่ 6.10 Hz และ 10.6 Hz พบรูปแบบการเคลื่อนที่ของมวลหลักและตัวคูดซับการสั่นสะเทือนสามารถแบ่งออกได้เป็นช่วงสำคัญได้ 6 ช่วง ดังแสดงในตาราง ซึ่งเมื่อเปรียบเทียบกับทฤษฎีโดยใช้สมการ 2.7 และ 2.8 ในการวิเคราะห์การเคลื่อนที่ทางทฤษฎีสามารถแสดงได้ดังกราฟรูป 4.38

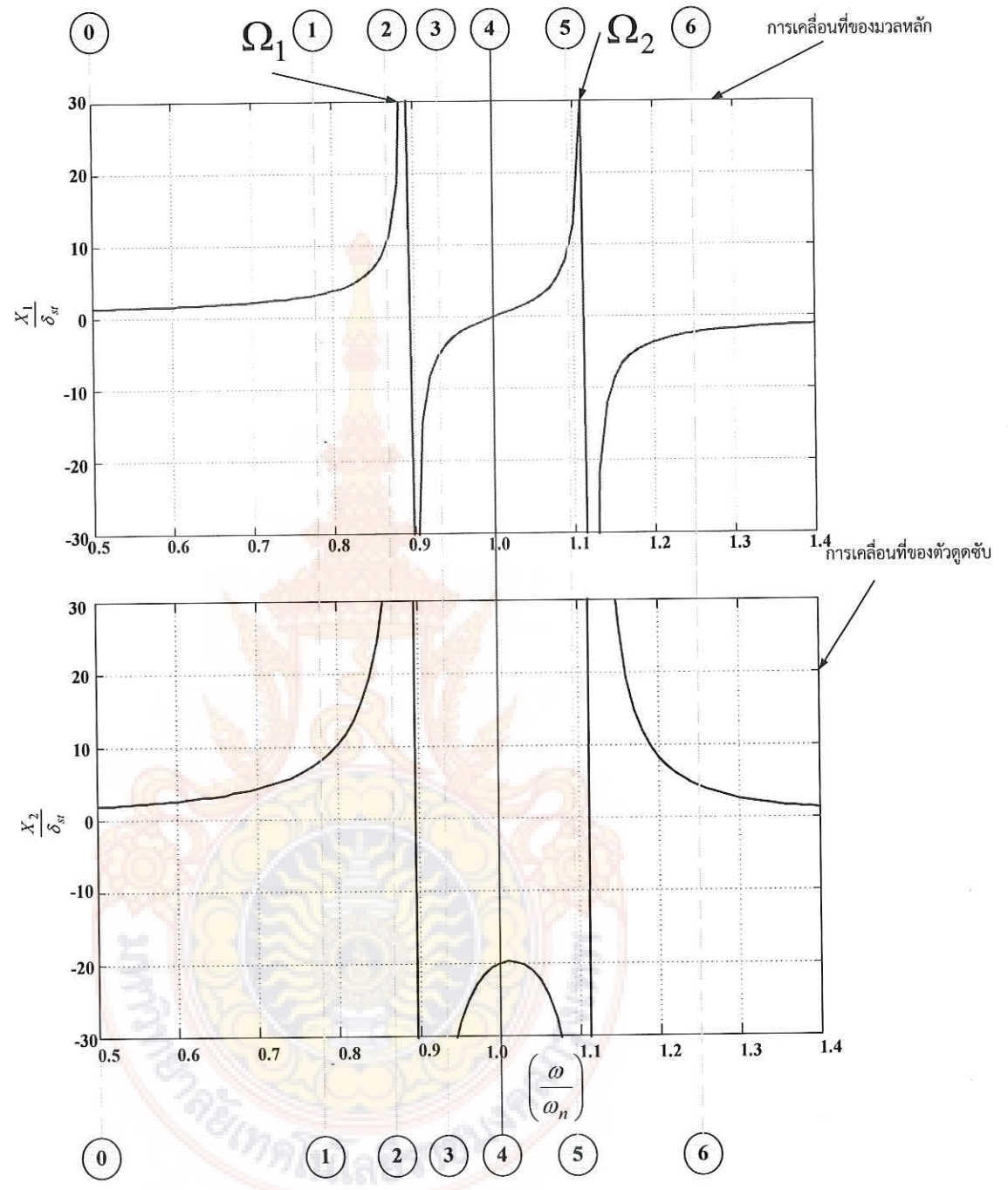


ตาราง 4.6 สัญญาณที่ช่วงความถี่ต่าง ๆ เมื่อใช้ตัวคุณภาพในการสั่นสะเทือน

ช่วง	การทดลองลดการสั่นสะเทือนที่ความถี่ 6 Hz	การทดลองลดการสั่นสะเทือนที่ความถี่ 11 Hz
1.	$\omega < \Omega_1$	
2.	$\omega \approx \Omega_1$	
3.	$\Omega_1 < \omega < \omega_n$	

ตาราง 4.6 สัญญาณที่ช่วงความถี่ต่าง ๆ เมื่อใช้ตัวคูดขับการสั่นสะเทือน (ต่อ)

ช่วง	การทดลองลดการสั่นสะเทือนที่ความถี่ 6 Hz	การทดลองลดการสั่นสะเทือนที่ความถี่ 11 Hz
4.	$\omega \approx \omega_n$	
		
5.	$\omega_n < \omega < \Omega_2$	
		
6.	$\omega > \Omega_2$	
		



รูป 4.38 การเคลื่อนที่ของมวลหลักและตัวคูดซับในทางทฤษฎี

#### จากตาราง 4.6 สามารถแบ่งการเคลื่อนที่ของมวลหลักและตัวดูดซับออกเป็น 6 ช่วง

**ช่วงที่ 1** คือช่วงที่ความถี่ของการสั่นสะเทือนมีค่าน้อยกว่าความถี่ธรรมชาติค่าแรก ( $\omega < \Omega_1$ ) ช่วงดังกล่าว หากความถี่ของการสั่นน้อยกว่าความถี่ธรรมชาติค่าแรกมากจะไม่ก่อให้เกิดการเปลี่ยนแปลงสัญญาณที่ได้จากสเตรนเกจ จากตาราง 4.6 ในช่วงที่ 1 จะเห็นได้ว่ามีสัญญาณเกิดขึ้นเพียงเล็กน้อยโดยไม่สามารถสังเกตเห็นการเปลี่ยนแปลงได้มากนักทั้งที่ความถี่ 6 Hz และ 11 Hz

**ช่วงที่ 2** ช่วงที่ความถี่ของการสั่นสะเทือนเข้าใกล้ความถี่ธรรมชาติค่าแรก ( $\omega \approx \Omega_1$ ) จากตาราง 4.6 จะเห็นว่าสัญญาณจากสเตรนเกจ 1 และ สเตรนเกจ 2 มีทิศทางการเคลื่อนที่ไปในแนวทางเดียวกัน (In phase) และมีทิศทางเดียวกับแรงโดยมีแอมปลิจูดที่สูงเนื่องจากเข้าใกล้ความถี่ธรรมชาติค่าแรก และหากเปรียบเทียบกับช่วงที่ 2 ทางทฤษฎีในรูป 4.38 จะเห็นได้ว่ามีความสอดคล้องกันคือมีทิศทางไปในแนวทางเดียวกันและมีแอมปลิจูดของการสั่นสะเทือนที่สูง

**ช่วงที่ 3** ช่วงนี้เป็นช่วงที่ความถี่ของการสั่นสะเทือนมากกว่าความถี่ธรรมชาติค่าแรกแต่น้อยกว่าความถี่ธรรมชาติของระบบมวลหลัก ( $\Omega_1 < \omega < \omega_n$ ) จากตารางจะเห็นได้ว่าสัญญาณจากสเตรนเกจ 1 และ สเตรนเกจ 2 ทิศทางไปในแนวทางเดียวกัน (In phase) แต่มีทิศทางตรงกันข้ามกับแรง (ตรงข้ามกับสัญญาณพล็อก) เกือบ  $180^\circ$  ซึ่งหากเปรียบเทียบกับผลทางทฤษฎีแล้วจะพบว่าเป็นไปตามกราฟรูป 4.38 ในช่วงที่ 3 คือทิศทางของมวลหลักและตัวดูดซับมีค่าเป็นลบซึ่งหมายถึงตรงกันข้ามกับแรงที่กระทำ สำหรับสาเหตุที่ทำให้มีเท่ากับ  $180^\circ$  พอดีนั้นอาจเป็นผลมาจากการหน่วงที่เกิดขึ้นซึ่งทำให้มุมเฟสไม่เท่ากับ  $180^\circ$  พยที่

**ช่วงที่ 4** เป็นช่วงที่มีความสำคัญเนื่องจากเป็นช่วงที่ความถี่ของการสั่นสะเทือนเท่ากับความถี่ธรรมชาติของระบบมวลหลัก ( $\omega = \omega_n$ ) และเป็นช่วงความถี่ที่ต้องการลดการสั่นสะเทือนซึ่งในทางทฤษฎีแล้วการสั่นสะเทือนของมวลหลักจะต้องมีค่าเท่ากับศูนย์แต่การสั่นสะเทือนของตัวดูดซับจะยังคงเกิดขึ้นในทิศทางตรงกันข้ามกับทิศของแรง (Out of phase) ซึ่งจากตารางจะพบว่าในช่วงที่ 4 นี้สัญญาณจากสเตรนเกจ 1 นั้นมีค่าน้อยมากที่ความถี่ทดลอง 6 Hz ซึ่งจากการวัดโดยใช้เครื่องวัดการสั่นสะเทือนพบว่ามีการสั่นสะเทือนเพียง  $0.05 \text{ mm}$  เท่านั้น สำหรับสัญญาณที่ความถี่ทดลอง 11 Hz พบว่ามีการเคลื่อนไหวของสัญญาณเล็กน้อยวัดการสั่นสะเทือนได้  $0.16 \text{ mm}$  ซึ่งมีการสั่นสะเทือนเพียงเล็กน้อยเชิงมีความสอดคล้องกับทฤษฎีอย่างไรก็ตามสาเหตุที่การลดการสั่นสะเทือนไม่สามารถลดได้เท่ากับศูนย์เหมือนทางทฤษฎีในรูป 4.38 นั้นอาจเป็นผลมาจากการหลายสาเหตุด้วยกัน เช่นการสั่นสะเทือนไม่ได้เป็นอาร์มอนิกเดียว การควบคุมความเร็วของมอเตอร์ที่ทดลองให้มีความสม่ำเสมอที่ความถี่ทดลอง หรือการสั่นสะเทือนมิได้เกิดขึ้นในมิติเดียวอาจมีการสั่นสะเทือนในแนวแกนอื่นด้วยเช่นที่ทำการลดการสั่นสะเทือนมิได้ลดจน เท่ากับศูนย์เหมือนกับทางทฤษฎี

**ช่วงที่ 5** ช่วงนี้เป็นช่วงที่ความถี่ของการสั่นสะเทือนมากกว่าความถี่ธรรมชาติของมวลหลักแต่น้อยกว่าความถี่ธรรมชาติค่าที่สอง ( $\Omega_1 < \omega < \Omega_2$ ) จากตารางพบว่าการเคลื่อนที่ของมวลหลักมีทิศทางเดียวกันกับ

แรงแต่ตรงข้ามกับตัวคูดซับการสั่นสะเทือนและมีแอมป์ลิจูดของการสั่นสะเทือนที่สูงซึ่งสอดคล้องกับทฤษฎีในรูป 4.38 จะเห็นได้ว่าการสั่นสะเทือนของมวลหลักจะมีค่าเป็นบวกแต่การเคลื่อนที่ของตัวคูดซับมีค่าเป็นลบ ดังนี้จึงเป็นไปตามทฤษฎี สำหรับแอมป์ลิจูดของการสั่นสะเทือนที่สูงขึ้นนั้นเป็นผลมาจากการสั่นสะเทือนเข้าใกล้ความถี่ธรรมชาติค่าที่สอง

ช่วงที่ 6 เป็นช่วงที่ความถี่ของการสั่นสะเทือนมากกว่าความถี่ธรรมชาติค่าที่สอง ( $\omega > \Omega_2$ ) ในช่วงนี้จะจากตารางจะพบว่าตรงกันข้ามกับรูปแบบการสั่นสะเทือนในช่วงที่ 5 กล่าวคือการเคลื่อนที่ของมวลหลักมีทิศทางตรงกันข้ามกับแรง แต่การเคลื่อนที่ของตัวคูดซับกลับมีการเคลื่อนที่ในทิศทางเดียวกันกับแรงอีกทั้งยังขนาดการสั่นสะเทือนที่ลดลงซึ่งหากพิจารณาเปรียบเทียบกับทฤษฎีในรูป 4.38 พบร้าการเคลื่อนที่ของมวลหลักจะมีค่าเป็นลบ ในขณะที่การเคลื่อนที่ของตัวคูดซับมีค่าเป็นบวกสำหรับแอมป์ลิจูดของการสั่นที่ลดลงเมื่อเปรียบเทียบกับสัญญาณที่ได้ในช่วงที่ 5 นั้นเป็นผลมาจากการสั่นสะเทือนในช่วงที่ 6 นั้นความถี่ของการสั่นสะเทือนเกินความถี่ธรรมชาติค่าที่สองของการสั่นสะเทือน



## บทที่ 5

จากผลการทดลองที่กล่าวมาในบทที่ 4 พบว่า ผลการทดลองเป็นไปตามทฤษฎีซึ่งสรุปได้ดังนี้

### 5.1 สรุปผลการวิจัย

#### การทดลองลดการสั่นสะเทือนที่ 6 Hz

การเปรียบเทียบความถี่ธรรมชาติของระบบมวลหลักระหว่างการทดลองกับการคำนวณทางทฤษฎีสามารถแสดงได้ดังตาราง 5.1

ตาราง 5.1 สรุปผลที่ได้จากการคำนวณกับผลทางทฤษฎี (ความถี่ที่ทดลองลดการสั่น 6 Hz)

	ผลการทดลอง	คำนวณทางทฤษฎี
ความถี่ธรรมชาติของระบบมวลหลัก , ( $\omega_n$ )	6.10 Hz	6.3 Hz
ความถี่ธรรมชาติของระบบเมื่อใช้ตัวคูดซับ		
$\Omega_1$	5.65 Hz	5.43 Hz
$\Omega_2$	6.76 Hz	6.84 Hz

ความสามารถในการลดการสั่นสะเทือนที่ต้องการที่ความถี่ 6 Hz

ก่อนใช้ตัวคูดซับการสั่นสะเทือน 6.41 mm(RMS) เมื่อใช้ตัวคูดซับการสั่นสะเทือน 0.05 mm (RMS)

#### การทดลองลดการสั่นสะเทือนที่ 11 Hz

การเปรียบเทียบความถี่ธรรมชาติของระบบมวลหลักระหว่างการทดลองกับการคำนวณทางทฤษฎีสามารถแสดงได้ดังตาราง 5.2

ตาราง 5.2 สรุปผลที่ได้จากการคำนวณกับผลทางทฤษฎี (ความถี่ที่ทดลองลดการสั่น 11 Hz)

	ผลการทดลอง	คำนวณทางทฤษฎี
ความถี่ธรรมชาติของระบบมวลหลัก , ( $\omega_n$ )	10.6 Hz	11.0 Hz
ความถี่ธรรมชาติของระบบเมื่อใช้ตัวคูดซับ		
$\Omega_1$	10.0 Hz	9.30 Hz
$\Omega_2$	11.2 Hz	12.0 Hz

ความสามารถในการลดการสั่นสะเทือนที่ต้องการที่ความถี่ 6 Hz

ก่อนใช้ตัวคูดซับการสั่นสะเทือน 5.7 mm (RMS) เมื่อใช้ตัวคูดซับการสั่นสะเทือน 0.16 mm (RMS)

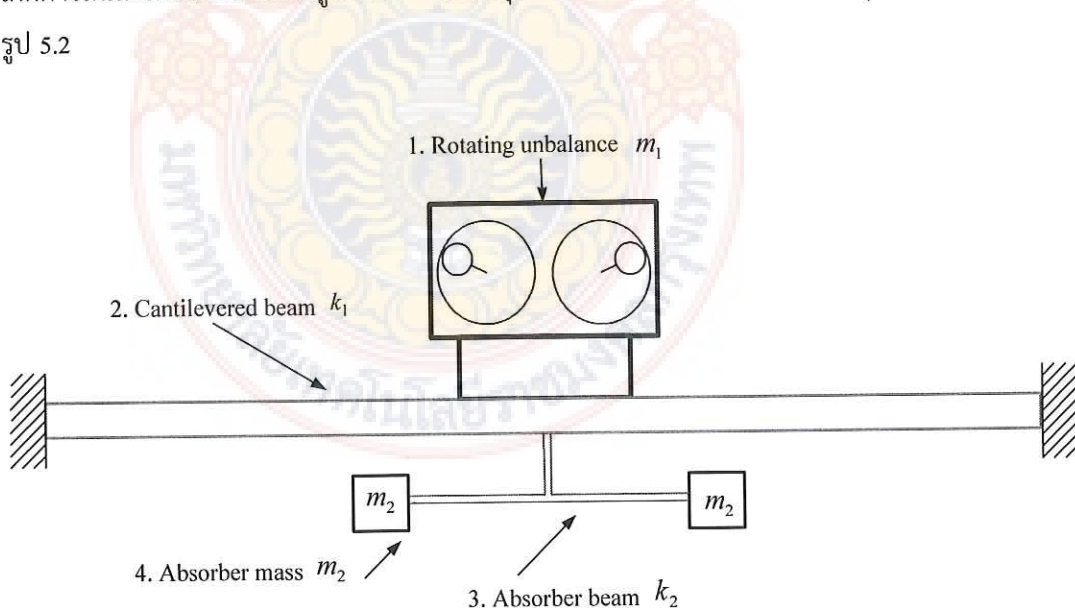
### ความเป็นไปได้ในการนำไปประยุกต์ใช้ในงานจริง

จากข้อมูลข้างต้นจะเห็นได้ว่าการลดการสั่นสะเทือนด้วยวิธีการดังกล่าวสามารถลดการสั่นสะเทือนได้อย่างมากโดยเฉพาะที่ความถี่ต่ำ อย่างไรก็ตามการทดลองดังกล่าวเป็นเพียงการสมมติให้แรงที่กระทำกับระบบมวลหลักเป็นแรง harmonic ในขณะที่การสั่นสะเทือนในเครื่องจักรจะมีความไม่แน่นอน เช่น แรงกระตุก แรงดึงดูด แรงต้าน ฯลฯ ที่ไม่สามารถจำลองได้ ดังนั้นการลดการสั่นสะเทือนโดยวิธีดังกล่าวอาจมีข้อจำกัดในกรณีที่แรงสั่นสะเทือนไม่ใช่แรง harmonic แน่นอน

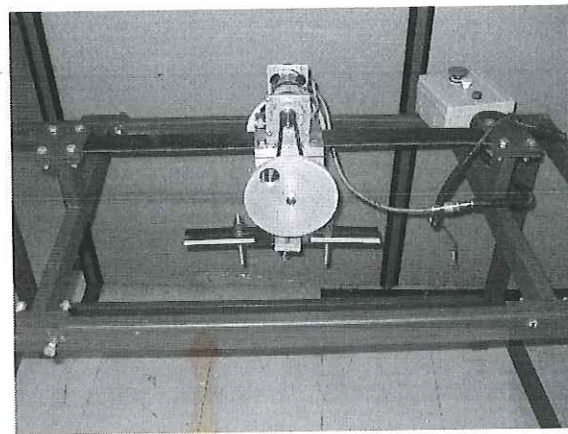
สำหรับความเป็นไปได้ที่จะนำไปใช้ในงานจริงนั้นขึ้นอยู่กับความถี่ของการสั่นสะเทือนของระบบมวลหลัก หากเป็นแรง harmonic ที่มีความถี่เดียวกัน วิธีการดังกล่าวพบว่ามีประสิทธิภาพสูงในการลดการสั่นสะเทือนอีกทั้งยังสร้างจ่ายและปรับความถี่ธรรมชาติได้ง่ายโดยการปรับหรือเปลี่ยนค่านองตัวดูดซับ การสั่นสะเทือน ในทางตรงกันข้ามหากการสั่นสะเทือนมีหลายความถี่หรือหลาย harmonic วิธีการดังกล่าวอาจไม่เหมาะสมนักทั้งนี้ต้องขึ้นอยู่กับความถี่เกิดขึ้นว่ามีความเด่นใน harmonic ใด หากการสั่นสะเทือนมีแนวโน้มไปในความถี่ใดความถี่นั้นจะมากกว่าความถี่อื่นๆ วิธีการนี้ก็ยังคงใช้ได้ผลดี

### 5.2 ข้อเสนอในการวิจัยต่อไป

จากผลการทดลองพบว่าการลดการสั่นสะเทือนโดยใช้ตัวดูดซับการสั่นสะเทือนสามารถลดการสั่นสะเทือนที่ความถี่ที่ต้องการลด แต่การใช้ตัวดูดซับแบบสปริงแผ่นอาจทำให้เกิดความไม่สมดุลเนื่องจากตัวดูดซับการสั่นสะเทือนทำให้เกิดโมเมนต์ได้ ดังนั้นเพื่อลดข้อจำกัดดังกล่าวในการพัฒนาตัวดูดซับการสั่นสะเทือนในขั้นต่อไปคือออกแบบตัวดูดซับการสั่นสะเทือนในแบบควบคู่เพื่อให้เกิดการสมดุลเมื่อเกิดการสั่นสะเทือนดังแสดงในรูป 5.1 ซึ่งปัจจุบันกำลังดำเนินการวิจัยโดยสร้างชุดทดลองดังแสดงในรูป 5.2

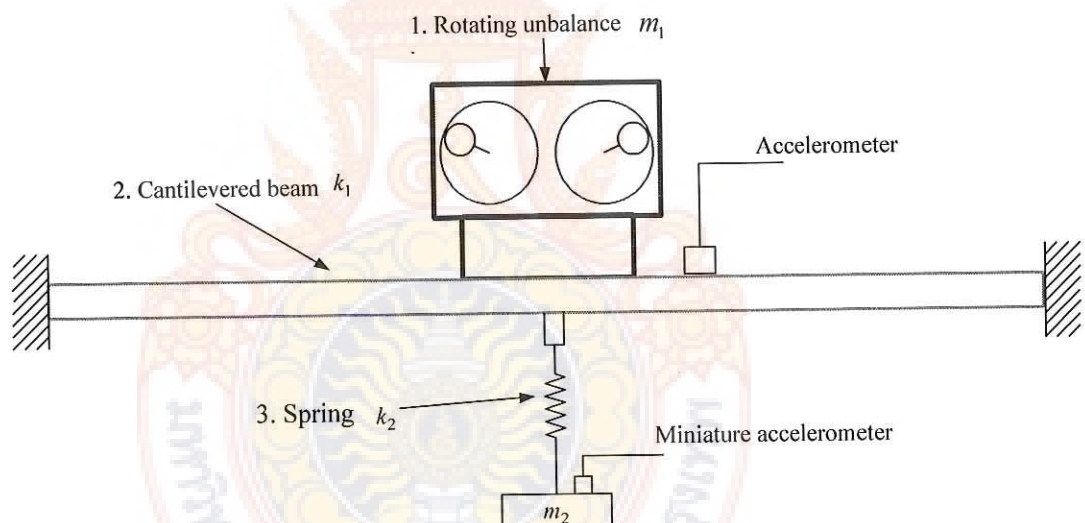


รูป 5.1 แผนภาพการใช้ตัวดูดซับการสั่นสะเทือนแบบควบคู่



รูป 5.2 ชุดทดลองการใช้ตัวดูดซับการสั่นสะเทือนแบบคู่

นอกเหนือจากการพัฒนาความที่ใช้ทำตัวดูดซับการสั่นสะเทือนแล้ว ยังสามารถพัฒนาสปริงให้เป็นแบบสปริงขดเพื่อลดโมเมนต์ที่เกิดจากการสั่นสะเทือนดังแสดงในรูป 5.3



รูป 5.3 แผนภาพการใช้ตัวดูดซับการสั่นสะเทือนแบบสปริงขด

## เอกสารอ้างอิง

- [1] Rao, S.S. 2005. Mechanical Vibrations, Prentice-Hall, Singapore, p 10.
- [2] เอกพงษ์ ตั้งพัฒนาเสรี และวิทยา ยงเจริญ. การควบคุมแรงส่งผ่านไปยังพื้นที่โดยใช้ตัวดูดซับการสั่นสะเทือนสำหรับเครื่องจักรที่แปรความเร็วรอบ. วิทยานิพนธ์วิศวกรรมศาสตรมหาบัณฑิต ภาควิชา วิศวกรรมเครื่องกล บัณฑิตวิทยาลัย จุฬาลงกรณ์มหาวิทยาลัย, 2544.



## បររណ្ឌកម្ម

- Floyd, T.L. 1996. Electronic Devices, Prentice-Hall, U.S.A.
- Kelly, S.G. 2000. Fundamentals of Mechanical Vibrations, McGraw-Hill, Singapore.
- Meirovitch, L. 2001. Fundamentals of Vibrations, McGraw-Hill, Singapore.
- Rao, S.S. 2005. Mechanical Vibrations, Prentice-Hall, Singapore.

